

TA/Sekjur.TE/2004/018
MILIK
PERPUSTAKAAN-FTI-UII
YOGYAKARTA

**PENGATURAN KIPAS ANGIN BERDASARKAN SUHU RUANGAN
MENGUNAKAN LOGIKA FUZZY, BERBASIS
MIKROKONTROLER AT89C52**

TUGAS AKHIR

**Diajukan sebagai Salah Satu Syarat
untuk Memperoleh Gelar Sarjana Teknik Elektro**



No. Inv	55/A/FTI.FL-UII/04
Tanggal	22 MEI 04
Asal	F. TEKNO. INDUSTRI - UII
Harga	RP. 20.000,-
PERPUSTAKAAN FAK. TEKNOLOGI INDUSTRI UNIVERSITAS ISLAM INDONESIA YOGYAKARTA	

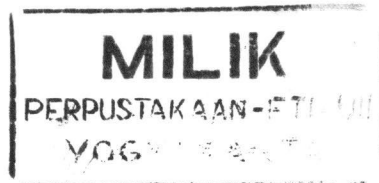
oleh :

Nama : Udin Saefudin

No. Mahasiswa : 98 524 006

**JURUSAN TEKNIK ELEKTRO
FAKULTAS TEKNOLOGI INDUSTRI
UNIVERSITAS ISLAM INDONESIA
JOGYAKARTA**

2004



LEMBAR PENGESAHAN PEMBIMBING
TUGAS AKHIR
PENGATURAN SUHU RUANGAN DENGAN KIPAS ANGIN
MENGGUNAKAN LOGIKA FUZZY, BERBASIS
MIKROKONTROLER AT89C52

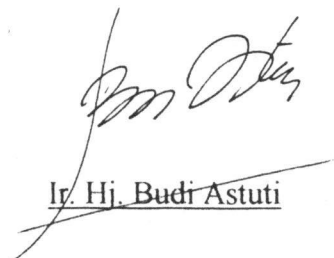
Oleh :

Nama : UDIN SAEFUDIN

No. Mahasiswa : 98.524.006

Yogyakarta, 08 Mei 2004

Pembimbing I,



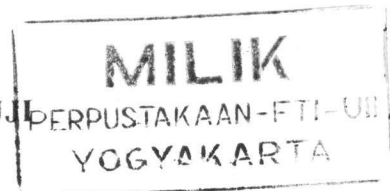
Ir. Hj. Budi Astuti

Pembimbing II,



RM. Sisdarmanto Adinandra, ST

LEMBAR PENGESAHAN PENGUJI



**PENGATURAN KIPAS ANGIN BERDASARKAN SUHU RUANGAN
MENGUNAKAN LOGIKA FUZZY, BERBASIS
MIKROKONTROLER AT89C52**

TUGAS AKHIR

Oleh :

Nama : Udin Saefudin
No. Mahasiswa : 98 524 006

**Telah Dipertahankan Di Depan Penguji sebagai Salah satu Syarat untuk
Memperoleh Gelar Sarjana Jurusan Teknik Elektro
Fakultas Teknologi Industri Universitas Islam Indonesia**

Jogyakarta, 08 Mei 2004

Tim Penguji

**Ir. Hj. Budi Astuti
Ketua**

**RM Sisdarmanto Adinandra, ST
Anggota I**

**Hendra Setiawan, ST
Anggota II**

Tanda Tangan

Mengetahui

**Dekan Fakultas Teknologi Industri
Universitas Islam Indonesia**



(Ir. Bachrun Sutrisno, M.Sc)

HALAMAN PERSEMBAHAN

*Kupersembahkan Tugas Akhir ini untuk Islam Agamaku,
Universitas Islam Indonesia, Almamaterku*

Tugas Akhir ini kupersembahkan kepada kedua orangtuaku :

"Ayahanda H. Jupri & Ibunda Tersayang Hj. Rantisah"

Kepada adikku :

"Eneng, Ene dewi, Efe, susu sulasih"

serta keluarga besarku dan semua orang yang kucintai

*Tugas Akhir ini kupersembahkan kepada *Kake dan Neneiku* H. Sukanta, Hj. Ratnawati*

Om abdurahman. Om Aan Yang baru menempuh Hidup Baru.

*Tugas Akhir Ini Kupersembahkan kepada My Honey Hannah Derwent (Hanster) yang begitu
besar kasih sayangnya dalam mendampingiiku, serta pengorbanannya yang tulus ikhlas, juga yang*

telah memberikan rasa tenang dan damai

dalam perjuangan menuntut ilmu dan masa depanku.

Tugas Akhir ini kupersembahkan kepada teman-teman seperjuangan "Rona , Doni, Wahab, Feri

ST, Bondit, Andre ST, Lia ST, bayu, eldi, thanks for all dan semua teman-teman yang telah

membantu memberikan dukungan serta motivasi untuk terus maju demi kesuksesanku

MOTTO

"Barang siapa menempuh jalan untuk mencari ilmu, maka Allah memudahkan jalan baginya menuju surga"

(HR, Muslim dan Abu Hurairah ra)

"..Katakanlah : Adakah sama orang-orang yang mengetahui dengan orang-orang yang tidak mengetahui? Sesungguhnya orang yang berakallah yang dapat menerima pelajaran"

(QS Az-Zumar : 9)

"Jadikanlah sabar dan sholat sebagai penolongmu. Dan sesungguhnya yang demikian itu sungguh berat, kecuali bagi orang-orang yang khusyu"

(QS Al-Baqarah : 45)

"Jadikanlah engkau pemaaf dan suruhlah orang mengerjakan yang ma'ruf, serta berpalinglah daripada orang-orang yang bodoh"

(QS Al-A'raaf: 199)

"Pandanglah kegagalan sebagai suatu peluang untuk belajar, sebagai suatu lompatan kreativitas, sebagai suatu kesempatan untuk menguji gagasan baru"

(Art Mortell)

"Derajat kemuliaan seseorang dapat dilihat dari sejauh mana dirinya punya nilai manfaat bagi orang lain"

(HR, Bukhori)

KATA PENGANTAR

Alhamdulillah, puji dan syukur kepada Allah SWT Tuhan semesta alam. Yang Maha Pengasih lagi Maha Penyayang. Ucapan syukur kehadiran-Nya akhirnya penulis dapat menyelesaikan Tugas Akhir ini sebagai syarat akhir untuk meraih gelar Sarjana Teknik di jurusan Teknik Elektro Universitas Islam Indonesia. Sholawat serta salam penulis haturkan kepada pemimpin umat, Nabi Muhammad SAW beserta para keluarganya, sahabatnya, dan semua umatnya yang tetap sedia menjalankan ajaran Islam. Semoga kita termasuk di dalamnya. Amin.

Penyusunan Tugas Akhir dengan judul **“Pengatur Kipas Angin Berdasarkan Suhu Ruangan Menggunakan Logika Fuzzy”** tidak terlepas dari bantuan semua pihak, baik berupa bimbingan, kritik, saran maupun do’a. Tugas Akhir ini adalah langkah pertama dari sekian ribu langkah menuju kesempurnaan maka dari itu sangat diharapkan ada teman dan adik-adik penulis yang meneruskan apa yang sudah penulis lakukan hingga tahap ini. Untuk itu, dalam kesempatan ini dengan segala kerendahan hati dan penghargaan yang tulus, penulis menghaturkan banyak terima kasih kepada:

1. Bapak Ir. Bachrudin Sutrisno, Msc selaku Dekan Fakultas Teknologi Industri Universitas Islam Indonesia.
2. Ibu Ir. Hj. Budi Astuti, selaku Ketua Jurusan Teknik Elektro Universitas Islam Indonesia dan Dosen Pembimbing I Tugas Akhir.

3. Bapak RM Sisdamanto Adinandra ST, selaku Dosen Pembimbing II Tugas Akhir.
4. Segenap Dosen Teknik Elektro Universitas Islam Indonesia.
5. Segenap hormat kuserahkan pada kedua orang tuaku. H. Jupri dan Hj Rantisah, ribuan kilo jalan yang beliau tempuh lewati rintangan untuk aku anaknya, yang selalu memberikan kasih sayang, bimbingan, arahan dan do'a dalam setiap langkah dalam menuntut ilmu.
6. Untuk adik-adikku tercinta Eneng, Ene, Efe dan Ciyah yang telah memberikan motivasi.
7. Yang terkasih dinagari sebrang Hannah Derwent (Hanster), yang telah memberikan semangat yang tiada henti.
8. Untuk kawan-kawanku tercinta, Feri ST, Wahab, Doni, Eldi ST, Onay, Mas Enjen, Mas Yunus.
9. Untuk teman-teman angkatan 98' satu perjuangan maju terus pantang mundur, yang telah bersaing dengan sehat sehingga kita akan bertemu sepuluh tahun yang akan datang.

Kesempurnaan hanya milik Allah, oleh karena itu penulis mengharapkan saran dan masukan demi perbaikan tulisan ini dan semoga bermanfaat.

Yogyakarta, 08 Mei 2004

Penulis

Udin Saefudin

DAFTAR ISI

	Halaman
HALAMAN JUDUL	i
LEMBAR PENGESAHAN DOSEN PEMBIMBING	ii
LEMBAR PENGESAHAN DOSEN PENGUJI	iii
HALAMAN PERSEMBAHAN	iv
HALAMAN MOTTO	v
KATA PENGANTAR	vi
DAFTAR ISI	viii
DAFTAR GAMBAR	xii
DAFTAR TABEL	xiii
ABSTRAKSI	xiv
BAB I. PENDAHULUAN	1
1.1. Latar Belakang	1
1.2. Rumusan Masalah	2
1.3. Batasan Masalah	2
1.4. Tujuan Pembuatan Tugas Akhir	3
1.5. Sistematika Penulisan	3
BAB II. DASAR TEORI	4
2.1. Himpunan fuzzy	4
2.2. Fuzzifikasi	5
2.3. Sistem Pengambilan Keputusan	6

2.3.1. Metode MAX-MIN	7
2.3.2. Metode MAX-DOT	8
2.4. Defuzzifikasi	8
2.4.1. Metode Rerata Maksimum (MOM)	8
2.4.2. Metode Rerata Pusat (COA)	9
2.5. Pengendalian Logika Fuzzy Proporsional dan Integral	9
2.5.1. Pengendali Logika Fuzzy Proporsional	9
2.5.2. Pengendali Logika Fuzzy Integral	10
2.6. Triac	11
2.6.1. Pengatur Daya	11
2.7. Sistem Mikrokontroler	14
2.7.1. Pendahuluan	14
2.7.2. Konfigurasi Pin	14
2.7.3. Organisasi Memori	17
2.7.3.1. Memori Program	17
2.7.3.2. Memori Data	17
2.7.3.3. Register Fungsi Khusus (SFR)	18
2.7.4. Register	19
2.7.4.1. Register A dan B	19
2.7.4.2. Register R	19
2.7.4.3 DPTR, PC dan SP	19
2.7.5. Mode Pengalamatan	20
2.7.6. Timer	21

2.7.7. Interupsi	24
BAB III. PERANCANGAN SISTEM	26
3.1. Blok Diagram	26
3.2. Perangkat Keras	27
3.2.1. Sensor LM 35 dan ADC	27
3.2.2. Untai Pengatur Daya	28
3.2.3. Untai Penampil	30
3.2.4. Keypad	31
3.2.5. Kipas Motor AC	32
3.3. Perancangan Program	32
3.3.1. Program Umum	33
3.3.2. Prosedur ADC	35
3.3.3. Prosedur Zero Crossing	36
3.4. Perancangan Pengendali Logika Fuzzy	37
3.4.1. Prosedur Fuzzifikasi	39
3.4.2. Fuzzifikasi	40
3.4.3. Inferensi	43
3.4.4. Prosedur Defuzzifikasi	47
3.4.5. Penegasan (Defuzzifikasi)	48
BAB IV. ANALISA DAN PEMBAHASAN	50
4.1. Kalibrasi Sensor Suhu	50
4.2. Pengujian ADC	53
4.3. Pengamatan Watak Proses Yang Dikendalikan	54

4.4. Pengamatan Perubahan Tegangan Thyristor	55
4.5. Pengamatan Perubahan Suhu Waktu Pendingin	58
4.6. Kemampuan Pengendalian	60
BAB V. PENUTUP	61
5.1. Kesimpulan	61
5.2. Saran.....	61

DAFTAR PUSTAKA

LAMPIRAN

DAFTAR GAMBAR

	Halaman
Gambar 2.1 Struktur Pengendali Logika Fuzzy Proporsional.....	9
Gambar 2.2 Struktur Pengendali Logika Fuzzy Integral	10
Gambar 2.3 Struktur Dasar Pengendali	10
Gambar 2.4 Triac	11
a. Susunan Ekuivalen Dengan Sepasang SCR	11
b. Rangkain Ekuivalen	11
c. Lambang Skematik	11
Gambar 2.5 Dasar Pengaturan Dengan Triac	12
Gambar 2.6 Sinus Jala-jala Listrik	13
Gambar 2.7 Diagram AT89C52	15
Gambar 3.1 Diagram Blok Pengaturan Kipas Angin	26
Gambar 3.2 Rangkain Sensor LM35 Dengan ADC	28
Gambar 3.3 Rangkaian MOC 3021	29
Gambar 3.4 Rangkain Zero Crossing	30
Gambar 3.5 Rangkaian Penampil	31
Gambar 3.6 Rangkaian Keypad	31
Gambar 3.7 Diagram Alir Program Utama	34
Gambar 3.8 Alir Konversi	36
Gambar 3.9 Diagram Alir Prosedur	37

Gambar 3.10 Diagram Alir Proses Inferensi	40
Gambar 3.11 Fungsi Keanggotan Masukan Error	41
Gambar 3.12 Fungsi Keanggotan Masukan Delta Error (err)	41
Gambar 3.13 Batas Fungsi Keanggotan Keluaran	42
Gambar 3.14 Proses Inferensi Dengan Metode MAX-MIN	47
Gambar 4.1 Titik Uji Pengamatan Untuk Keluaran Sensor Suhu	50
Gambar 4.2 Grafik Suhu Terhadap Keluaran Sensor	52
Gambar 4.3 Grafik Hubungan Tegangan Analog Input	54
Gambar 4.4 Hubungan Sudut Picu dan Tegangan	55
Gambar 4.5 Grafik Perubahan Suhu Awal 32 Derajat Celcius	56
Gambar 4.6 Grafik Perubahan Tegangan Suhu 35 Derajat Celcius	57

DAFTAR TABEL

	Halaman
Tabel 2.1 Bit-bit Dalam Port 3	16
Tabel 2.2 Peta RAM Internal AT89C52	18
Tabel 2.3 Definisi Bit-bit Pada Register TCON	22
Tabel 2.4 Register Kontrol	23
Tabel 2.5 Kombinasi Mode Operasi Timer 0 dan 1	23
Tabel 2.6 Definisi Bit-bit Pada Register T2CON	24
Tabel 2.7 Register Kontrol T2MOD	24
Tabel 2.8 Alamat Vektor Pelayanan Interupsi	25
Tabel 2.9 Bit-bit Register Interupsi Enable (IE)	25
Tabel 2.10 Bit-bit Register Interrupt Priority (IP)	25
Tabel 3.1 Keterangan Tombol-tombol Perancangan Perangkat Lunak	35
Tabel 3.2 Penentu Himpunan Aturan	46
Tabel 4.1 Pengkalibrasian LM 35	51
Tabel 4.2 Hasil Pengamatan Pada Model Ruang	59

ABTRAKSI

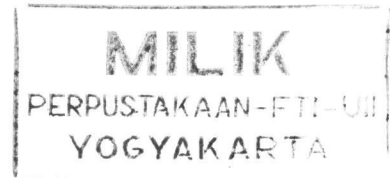
Pengendalian temperatur banyak dimanfaatkan dalam bidang industri, baik untuk mempercepat suatu proses ataupun untuk memperlambat suatu proses. Oleh karenanya dibutuhkan suatu pengendali temperatur yang dapat beroperasi secara otomatis dan mampu mengendalikan cara “cerdas” model ruang suhu. Karakteristik suatu plant temperature adalah tidak linear, sehingga pengendali konvensional seperti pengendali proporsional, pengendali diferensial dan pengendali integral maupun gabungan kombinasi ketiganya tidak sesuai untuk sistem yang tidak linier.

Dalam penelitian ini akan dirancang sistem pengendali temperatur ruangan yang berbasis algoritma *fuzzy* dengan pengendali mikrokontroler AT89C52 untuk mengendalikan kecepatan putaran kipas berdasarkan suhu ruangan.

Logika *fuzzy* adalah menerapkan pengendalian berdasarkan pengkaburan, atau suatu cara yang tepat untuk memetakan suatu ruang input kedalam suatu ruang output. Sehingga sesuai untuk karakter sistem yang tidak linier, pada perkembangannya logika *fuzzy* diterapkan dalam bidang kendali yang dikenal dengan istilah pengendali logika *fuzzy* (PLC). Algoritma pengendali *fuzzy* dapat diterapkan untuk mikrokontroler karena tidak memerlukan perhitungan matematis yang rumit sehingga dapat diimplementasikan dengan cepat.

Setpoint temperatur tidak pernah tercapai tapi akan beselisih beberapa derajat celcius terhadap suhu yang diinginkan (setpoint). Hal ini diakibatkan karena tidak adanya pengaturan laju pemanasan dan aturan-aturan logika *fuzzy* yang diterapkan. Putaran kipas akan berjalan ketika terjadi beda suhu atau temperatur antara setpoint dan suhu awal satu derajat celcius. Hal ini terjadi karena aturan fuzzifikasi yang dibuat.

BAB I



I.1. Latar belakang

Pada jaman sekarang ini peralatan kipas angin dapat dikendalikan dari jarak jauh atau dengan cara menggunakan *remote control*, didalam peralatan elektronik seperti kipas angin sudah dilengkapi dengan fasilitas pengatur kecepatan dan pengatur suhu namun masih dioperasikan secara manual.

Pabrik, industri, instansi perkantoran, hotel dan fasilitas lainnya rata-rata telah menggunakan sistem pengendali suhu ruangan pada umumnya yang diaplikasikan menggunakan kipas angin untuk menjaga suhu, maka kipas angin yang berputar tidak ditentukan berdasarkan suhu yang diinginkan selama itu mekanisme kendali masih manual (mengubah-ubah tombol).

Pengendalian kecepatan putaran kipas angin dapat dilakukan secara otomatis. Kecepatan putaran berdasarkan bacaan sensor suhu dan pengolah mikrokontroler untuk mengendalikan putaran kipas.

Penelitian ini akan diimplementasikan secara digital berdasarkan pertimbangan bahwa kendali digital lebih tahan terhadap derau daripada kendali analog.

Pengolah mikrokontroler yang digunakan adalah mikrokontroler AT89C52 dengan kendali berbasis logika *fuzzy*

I.2. Rumusan masalah

Berdasarkan latar belakang diatas, maka permasalahan dapat di idenfikasi sebagai berikut:

1. Bagaimana mengatur kecepatan kipas angin sesuai dengan suhu ruangan
2. Bagaimana merancang perangkat keras dan perangkat-perangkat pendukung lainnya, untuk mengatur kecepatan kipas atau merendahkan kipas angin.
3. Merancang dan mengimplementasikan logika *fuzzy* dengan menggunakan mikrokontroler AT89C52, yang dapat mengatur kipas angin, sesuai dengan suhu ruangan.

I.3. Batasan Masalah

Berdasarkan permasalahan yang ada diatas maka masalah yang difokuskan pada perancangan sistem pengendali putaran kipas angin berdasarkan suhu ruangan maka dibuat batasan masalah sebagai berikut:

1. Menggunakan sistem minimal mikrokontroler AT89C52 sebagai pengendali kecepatan putaran kipas angin berdasarkan suhu ruangan disertai model ruangan, keypad, 7 segment sebagai penampil setpoint dan suhu.
2. Menggunakan bahasa *assembler* untuk merancang program kendali
3. Penerapan logika *fuzzy* dengan tiga buah himpunan *fuzzy* berbentuk segitiga untuk mengendalikan putaran kipas angin berdasarkan suhu ruangan.
4. Rentang suhu yang digunakan adalah 25⁰ C sampai dengan 55⁰ C.

5. Motor yang dipakai motor AC rating 220V. Dan tidak mengukur kecepatan motor

I.4. Tujuan Pembuatan Tugas Akhir

Tujuan pembuatan tugas akhir ini untuk

1. Merancang dan membuat alat untuk mengatur kecepatan kipas angin.
2. Menggunakan mikrokontroler AT89C52 dengan logika *fuzzy* untuk mengendalikan kecepatan kipas angin berdasarkan suhu ruangan.

I.5. Sistematika Penulisan

BAB I : Pendahuluan

Berisi tentang latar belakang masalah, batasan masalah, tujuan penulisan, dan sistematika

BAB II : Landasan Teori

Bab ini memuat teori-teori yang berhubungan dengan pengendalian putaran kipas angin.

BAB III: Perancangan Sistem

Berisi tentang sistem perangkat keras AT89C52, perancang sistem kendali *fuzzy* untuk kendali putaran kipas angin.

BAB IV : Hasil Pengamatan dan Pembahasan

Bab ini berisi pengamatan hasil rancangan sitem pengendali dalam pengujian sistem serta pengamatanya.

BAB V : Kesimpulan dan Saran

Bab ini memuat kesimpulan dari pembahasan dan saran dari hasil yang diperoleh.

BAB II

DASAR TEORI

2.1. Himpunan *Fuzzy*

Himpunan *fuzzy* yang menjadi dasar dari sistem *fuzzy* merupakan pengembangan dari teori tradisional yang hanya membagi keanggotaannya menjadi dua keadaan saja yaitu aktif atau 1 dan tidak aktif atau 0. Teori klasik ini kemudian dimodifikasi pertama kali oleh Zadeh menjadi suatu teori himpunan yang beranggotakan nilai pada interval dari 0 sampai 1. Himpunan *fuzzy* ini lebih kompleks dari teori sebelumnya karena memiliki lebih banyak informasi, namun ketepatannya lebih tinggi dengan prosedur dan aturan yang mendasarnya.

Untuk mendefinisikan suatu himpunan, setiap elemen pada semesta wacana harus diberi nilai yang menunjukkan apakah elemen tersebut dalam himpunan atau tidak. Untuk himpunan bukan *fuzzy*, nilai ini terbatas pada 0 dan 1, yang menunjukkan anggota himpunan dan bukan anggota himpunan. Untuk suatu semesta wacana U , himpunan *fuzzy* ditentukan oleh fungsi keanggotaan yang memetakan anggota-anggota semesta wacana U ke suatu derajat yang nilainya berada pada interval 0 dan 1. Representasi himpunan *fuzzy* F dalam U ditunjukkan dalam pasangan elemen dan tingkat dari nilai keanggotaan:

$$F = \{(u, \mu_F(u) \mid u \in U\} \quad (2.1)$$

Apabila U kontinyu, himpunan *fuzzy* F ditulis sebagai

$$F = \int_U \mu_F(u) / u \quad (2.2)$$

Dan bila U diskret, himpunan *fuzzy* ditunjukkan dalam

$$F = \sum \mu_F(u_i) / u_i \quad (2.3)$$

Himpunan *fuzzy* mempunyai dua cara untuk mendefinisikan keanggotaannya, numeris dan fungsional. Definisi numeris menunjukkan derajat fungsi keanggotaan sebagai vektor nilai dengan dimensi sesuai tingkat diskretisasi, sedangkan secara fungsional ditunjukkan dalam persamaan analitik untuk tiap elemen yang didefinisikan. Fungsi keanggotaan yang sering dipakai yaitu fungsi S dan π (*gaussian*), segitiga dan *trapesium*, serta eksponensial.

2.2. Fuzzifikasi

Fuzzifikasi adalah proses pemetaan dari variabel masukan ke dalam himpunan *fuzzy* dalam suatu semesta wacana. Proses fuzzifikasi ditunjukkan melalui persamaan:

$$X = \text{fuzzifier}(X_0) \quad (2.4)$$

X_0 merupakan vektor masukan himpunan tegas, x adalah vektor himpunan *fuzzy* hasil proses fuzzifikasi, dan *fuzzifier* adalah operator fuzzifikasi.

Beberapa strategi fuzzifikasi:

- a. *Fuzzy singleton*. Nilai *fuzzy* ditunjukkan melalui suatu nilai tegas. Strategi ini yang paling sering digunakan karena natural dan paling mudah diimplementasikan.
- b. *Fuzzy number*. Nilai *fuzzy* diberikan melalui suatu nilai tertentu dengan interval kepastian. *Fuzzy number* merupakan nilai subjektif karena nilai yang diberikan adalah penilaian, bukan hasil pengukuran.

- c. *Fuzzy random*. Nilai yang dihasilkan merupakan nilai random yang bisa dikatakan sebagai nilai objektif karena menggunakan teori probabilitas dalam merepresentasikan data.

2.3. Sistem Pengambilan Keputusan (*Fuzzy Inference System*) dan Teknik Reasoning

Inferensi *fuzzy* dalam hal ini digunakan untuk merumuskan pemetaan himpunan input ke himpunan output dengan prinsip logika *fuzzy*. Inferensi ini menjadi basis peraturan dalam pengambilan keputusan. Aturan yang digunakan menggunakan aturan jika-maka (*If-Then*).

Dalam penalaran logika *fuzzy* ada dua tipe utama inferensi *fuzzy*:

1. Inferensi berdasar komposisi. Semua aturan dalam inferensi ini dikombinasikan dalam suatu relasi *fuzzy* dan dilihat sebagai sebuah aturan *fuzzy* jika-maka tunggal
2. Inferensi berdasar aturan individu. Setiap aturan menghasilkan sebuah keluaran himpunan *fuzzy* dan secara keseluruhan merupakan komposisi keluaran himpunan *fuzzy* yang dihasilkan setiap aturan.

Teknik *reasoning* digunakan untuk menentukan nilai yang akan digunakan sebagai masukan aksi kendali yang tepat. Dua buah teknik *reasoning* yang paling sering digunakan adalah MAX-MIN dan MAX-DOT. Untuk A' masukan himpunan *fuzzy* dan B' keluaran himpunan *fuzzy*, perumusan kedua metode sebagai berikut:

2.3.1. Metode MAX-MIN

Inferensi maksimum-minimum dapat dijelaskan dengan permasalahan sebuah basis aturan dengan dua aturan:

Aturan 1 jika x adalah A1 dan y adalah B1 maka z adalah C1

Aturan 2 jika x adalah A2 dan y adalah B2 maka z adalah C2

Setiap aturan diberi bobot dengan kuat bobot tertentu, kuat bobot ini sangat dipengaruhi oleh operator penghubung dalam aturan. Jika aturan dihubungkan dengan operator 'dan' maka operasi yang dilakukan adalah irisan (minimum), sedangkan jika aturan dihubungkan dengan operator 'atau' maka operasi yang dilakukan adalah gabungan (maksimum), jika kuat bobot dari aturan ke-i dilambangkan dengan α_i , masukan *fuzzy* adalah x_0 dan y_0 maka keanggotan x_0 adalah himpunan A dilambangkan dengan $\mu_{A(x_0)}$.

$$\alpha_1 = \mu_{A_1(x_0)} \wedge \mu_{B_1(y_0)}. \quad (2.5)$$

$$\alpha_2 = \mu_{A_2(x_0)} \wedge \mu_{B_2(y_0)}. \quad (2.6)$$

' \wedge ' adalah operator 'dan' atau minimum dan kuat penyulutan untuk aturan-aturan diatas adalah:

$$\mu_C(w) = (\alpha_1 \wedge \mu_{C_1(w)}) \vee (\alpha_2 \wedge \mu_{C_2(w)}) \quad (2.7)$$

Dengan $\mu_C(w)$ adalah derajat anggota keluaran.

2.3.2. Metode MAX-DOT

Metode ini menggunakan operasi perkalian sebagai implikasi *fuzzy*, maka didapat persamaan sebagai berikut:

$$\mu C(w) = (\alpha_1 \cdot \mu C_1(w)) \vee (\alpha_2 \cdot \mu C_2(w)) \quad (2.8)$$

2.4. Defuzzifikasi

Defuzzifikasi didefinisikan sebagai proses pemetaan dari himpunan *fuzzy* hasil inferensi ke dalam aksi kendali *non fuzzy*. Metode yang sering digunakan dalam defuzzifikasi adalah metode rerata maksimum (*mean of maximum/MOM*) dan metode rerata pusat (*center of average/COA*).

2.4.1. Metode rerata maksimum (MOM)

Metode ini memberikan keluaran pengendali dengan rumusan:

$$y^* = \frac{\sum_{j=1}^n \alpha_j H_j W_j}{\sum_{j=1}^n \alpha_j H_j} \quad (2.9)$$

Dengan

- y^* = adalah hasil defuzzifikasi,
- H_j = adalah ketinggian maksimum fungsi keanggotaan keluaran untuk aturan ke-j,
- W_j = merupakan titik berat keanggotaan keluaran aturan ke-j,
- α_j = adalah kuat penyulutan (*fire strength*) pada aturan ke-j,
- n = menunjukkan jumlah aturan kendali.

2.4.2. Metode rerata pusat (COA)

Metode rerata pusat memberikan hasil defuzzifikasi (y^*) dengan persamaan:

$$y^* = \frac{\sum_{j=1}^n \alpha_j M_j}{\sum_{j=1}^n \alpha_j A_j} \quad (2.10)$$

dengan

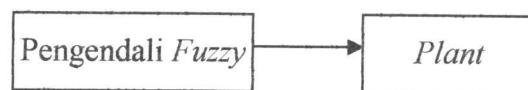
- α_j = adalah kuat penyulutan,
- M_j = momen fungsi keanggotaan himpunan *fuzzy* keluaran untuk aturan ke- j ,
dan
- A_j = merupakan luas daerah keluaran untuk aturan ke- j .

2.5. Pengendali Logika *Fuzzy* Proporsional dan Integral

Secara teoritis, tidak ada pengelompokan logika *fuzzy* ke dalam logika *fuzzy* proporsional dan integral. Pengelompokan ini dilakukan pada pengendali logika *fuzzy* berdasarkan hasil yang akan diperoleh.

2.5.1. Pengendali logika *fuzzy* proporsional

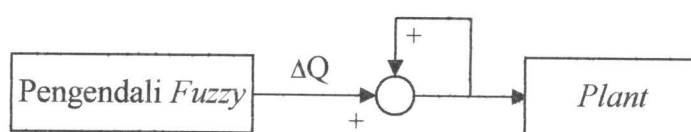
Pengendali ini mempergunakan logika *fuzzy* untuk memperoleh keluaran yang langsung akan diumpankan kepada penguat atau kepada sistem terkendali. Tanggapan sistem pada pengendali logika *fuzzy* proporsional merupakan respon terhadap keluaran pengendali pada saat tersebut.



Gambar 2.1 Struktur pengendali logika *fuzzy* proporsional

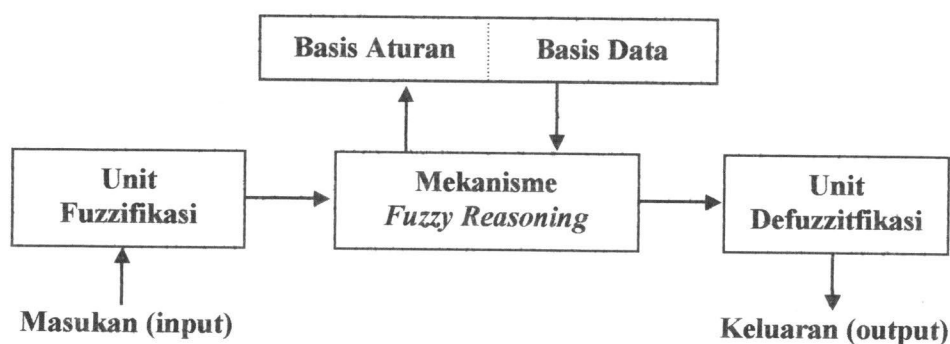
2.5.2. Pengendali logika *fuzzy* integral

Pada pengendali ini logika *fuzzy* dipergunakan untuk memperoleh perubahan keluaran (ΔQ) yang diumpankan ke penguat atau sistem terkendali. Tanggapan yang dikeluarkan sistem terkendali merupakan respon terhadap keluaran pengendali sebelumnya yang telah mengalami perubahan sebesar keluaran pengendali.



Gambar 2.2 Struktur pengendali logika *fuzzy* integral

Pengendali *fuzzy* secara umum merupakan pengendali kalang tertutup. Struktur dasar pengendali logika *fuzzy* terdiri dari unit fuzzifikasi, mekanisme penentuan keputusan dan basis aturan (*inference system*), dan unit defuzzifikasi, seperti diperlihatkan pada gambar 2.3.

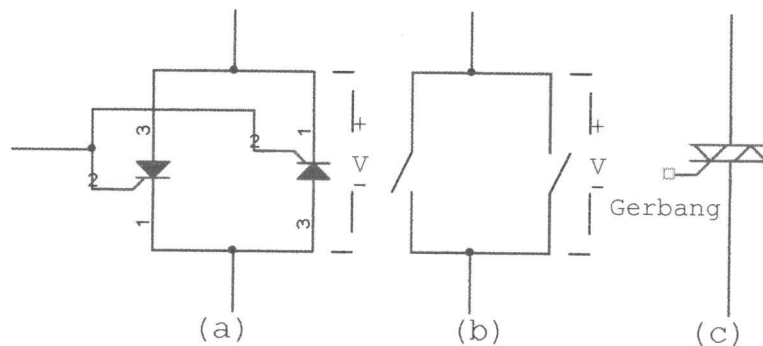


Gambar 2.3 Struktur dasar pengendali

2.6. Triac

TRIAC merupakan saklar elektronik yang sangat ideal untuk mengatur daya arus bolak-balik. Kombinasi TRIAC dan mikrokontroler menghasilkan sistem pengaturan daya yang sangat *fleksible* dan akurat.

Triac merupakan dua SCR yang terpasang paralel yang ekuivalen dengan dua penahan yang dapat mengendalikan arus pada kedua arah, tegangan penyalaan tinggi, sehingga cara yang normal untuk menyalakan triac dengan menerapkan pemicu berupa tegangan maju. seperti gambar 2.4



Gambar 2.4 Triac (a) susunan ekuivalen dengan sepasang SCR yang terpasang paralel (b) rangkaian ekuivalen (c) lambang skematik

Apabila tegangan memiliki polaritas seperti pada gambar 2.4, suhu pemicu positif akan menutup saklar yang disebelah kiri. Saat tegangan memiliki polaritas terbalik, picu negatif akan menutup saklar yang disebelah kanan.

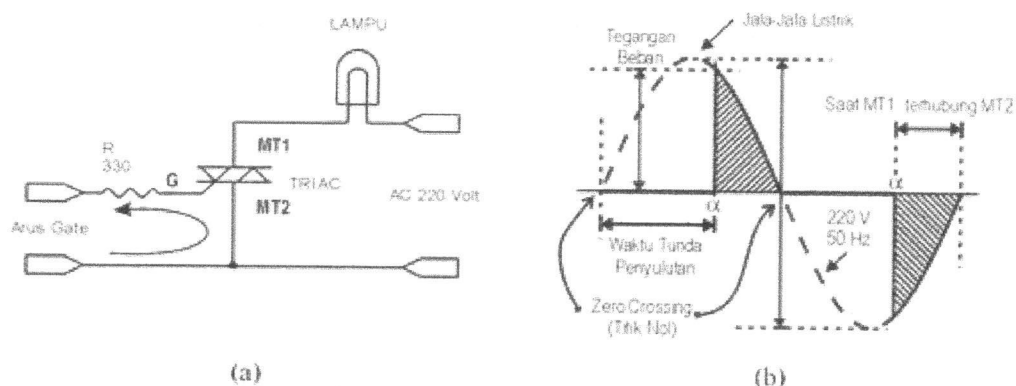
2.6.1. Pengatur Daya

Rangkaian dasar pemakaian TRIAC terlihat dalam gambar 2.5. Kaki MT1 dan MT2 merupakan saklar yang mengatur aliran arus beban yang berasal dari sumber tegangan bolak-balik (AC). Dalam keadaan normal kaki MT1 dan MT2 tidak terhubung, sehingga tidak ada arus beban yang mengalir, MT1 akan terhubung ke MT2 dan mengalirkan arus beban.

Arus gate hanya diperlukan untuk menghubungkan MT1 dan MT2, setelah itu MT1 akan tetap terhubung ke MT2 meskipun sudah tidak ada arus gate lagi. Pemberian arus gate sesaat untuk menghubungkan MT1 dan MT2 dikatakan sebagai menyulut atau (men-triger) TRIAC

MT1 akan tetap terhubung terus ke MT2 selama arus beban yang mengalir lebih besar dari arus minimum (*holding current*) sesuai dengan karakteristik masing-masing TRIAC.

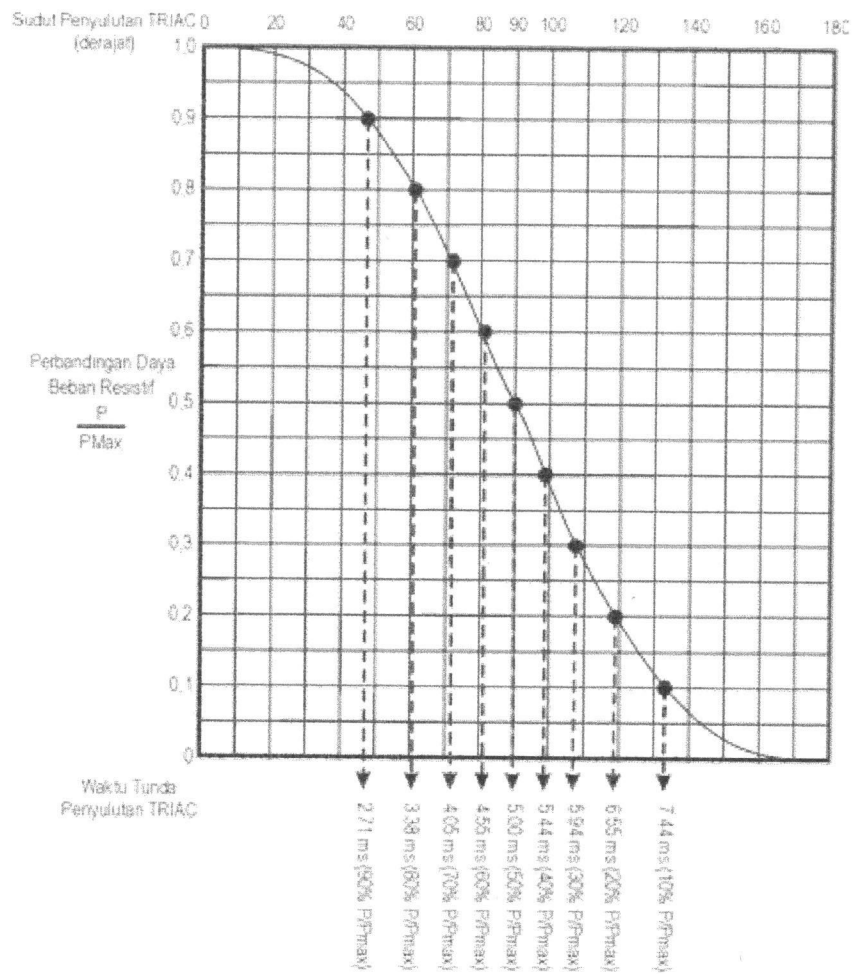
Sumber daya yang dipakai berasal dari tegangan bolak-balik pada daerah titik nol (*zero crossing*) dari tegangan bolak-balik, arus beban yang mengalir akan mengecil sampai kurang dari arus minimum yang diperlukan, akibatnya hubungan antara MT1 dan MT2 akan terputus dengan sendirinya, lihat gambar 2.5



Gambar 2.5 Dasar pengaturan dengan TRIAC

Daya yang disalurkan ke beban tergantung pada lamanya MT1 terhubung ke MT2 setiap setengah periode tegangan sinus dari jala-jala listrik, yakni bagian yang diarsir dalam gambar 2.6, pada saat-saat itulah beban menerima daya. Dengan demikian, daya yang disalurkan ke beban bias diatur dengan mengatur waktu tunda saat penyulutan TRIAC, terhitung pada saat tegangan sinus jala-jala

listrik mencapai titik nol. Teknik pengaturan daya semacam ini dikatakan sebagai teknik PWM.



Gambr 2.6 Sinus jala-jala listrik $\frac{1}{4}$ periode

2.7. Sistem Mikrokontroler AT89C52

2.7.1. Pendahuluan

Mikrokontroler merupakan sebuah sistem mikroprosesor yang dirancang untuk tujuan-tujuan khusus dan berupa rangkaian terintegrasi dalam sebuah *chip*.

Mikrokontroler tersusun atas beberapa komponen:

- *Central Processing Unit* (CPU),
- *Register* sebagai pemroses utama,
- *Read only Memory* (ROM),
- *Random Access Memory* (RAM),
- *Timer*, dan *Input/Output* (I/O) sebagai pelengkap.

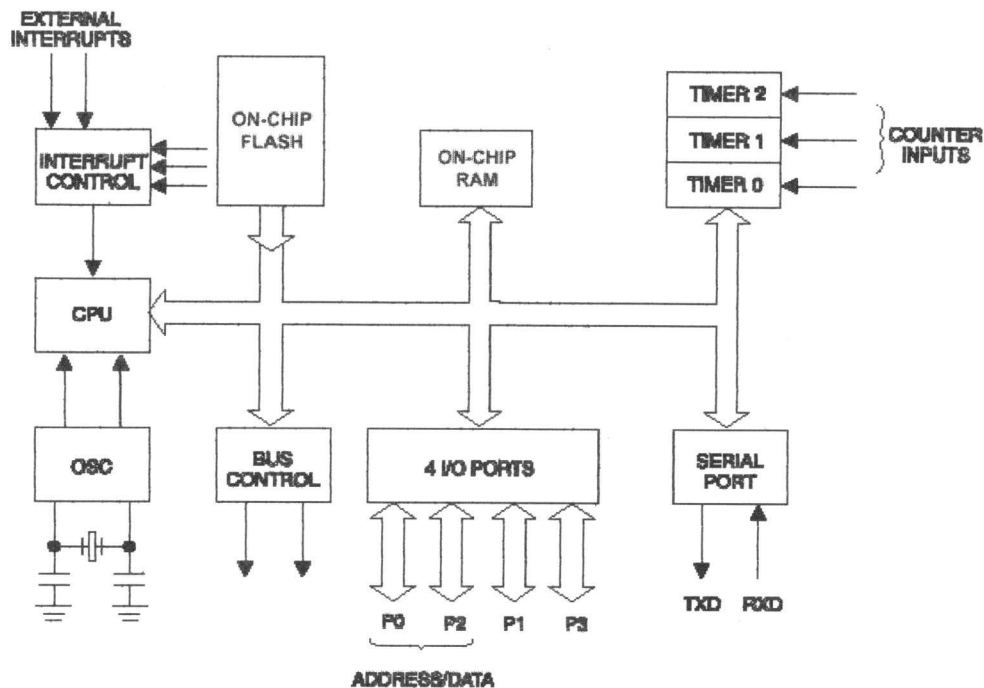
Mikrokontroler dirancang untuk aplikasi-aplikasi di bidang pengendalian sistem terutama dalam pengendalian sekuensial.

Mikrokontroler AT89C52 merupakan mikrokontroler yang diproduksi oleh *ATMEL* dan kompatibel dengan mikrokontroler standar industri MCS-5¹™. Mikrokontroler AT89C52 merupakan mikrokontroler *CMOS* dengan 8-bit yang berdaya rendah dan dilengkapi dengan *Programmable and Erasable Read Only Memory* (PEROM) 8 K byte. Bagian lain dalam mikrokontroler AT89C52 adalah RAM 256 bytes, port I/O, *timer/counter* 16 bit, pengendali interupsi, pengendali bus, port serial *full duplex* dan *on-chip oscillator*.

2.7.2. Konfigurasi Pin

Mikrokontroler AT89C52 mempunyai 3 buah bentuk *chip* yaitu PDIP, PQFP/TQFP dan 68PLCC. Masing-masing pin dalam *chip* mikrokontroler AT89C52 memiliki spesifikasi:

- a. Port 0 merupakan port I/O 8 bit dua arah, berfungsi sebagai port masukan atau keluaran. Port ini dikonfigurasi menjadi bus alamat orde rendah yang dimultiplek dengan bus data.



Gambar 2.7 Diagram AT89C52

- b. Port 1, merupakan port I/O 8 bit dua arah, berfungsi sebagai port masukan atau keluaran. Sebagai tambahan pin P1.0/T2 dapat dikonfigurasi sebagai input *external counter timer/counter 2* dan pin P1.1/T2EX dapat dikonfigurasi sebagai input trigger *timer/counter 2*.
- c. Port 2, merupakan port yang berfungsi sebagai port masukan atau keluaran. Port ini berfungsi mengeluarkan bit-bit alamat atas (*high-order address bits*) selama pengambilan dari program memori eksternal dan selama pengaksesan ke data memori eksternal yang menggunakan alamat

16 bit. Selama proses pemrograman dan verifikasi PEROM port ini berfungsi menerima bit-bit alamat atas dan sinyal-sinyal kontrol.

- d. Port 3, merupakan port masukan atau keluaran yang mempunyai fungsi khusus untuk tiap-tiap pin nya. Fungsi tiap-tiap pin pada port 3 ini pada tabel 2.1.

Tabel 2.1 Bit-bit dalam port 3

Bit	Fungsi
P3.0	RXD (Port masukan serial)
P3.1	TXD (Port keluaran serial)
P3.2	INT0 (Interupsi eksternal 0)
P3.3	INT1 (Interupsi eksternal 1)
P3.4	T0 (Masukan eksternal <i>timer</i> 0)
P3.5	T1 (Masukan eksternal <i>timer</i> 1)
P3.6	WR (<i>Strobe</i> penulisan data memori eksternal)
P3.7	RD (<i>Strobe</i> pembacaan data memori eksternal)

- e. RST, merupakan masukan reset yang bekerja aktif tinggi.
- f. ALE/PROG. ALE berfungsi untuk menahan bit-bit alamat bawah selama proses pengaksesan memori eksternal sedang PROG berfungsi sebagai masukan pulsa program selama pemrograman flash.
- g. PSEN. Pin aktif rendah yang berfungsi sebagai sinyal keluaran yang mengaktifkan program memori eksternal.
- h. \overline{EA}/V_{PP} , berfungsi untuk memungkinkan pengaksesan memori eksternal. Pin EA harus terhubung ke GND untuk memungkinkan pengambilan data dari lokasi program memori eksternal yang dimulai dari alamat 0000h sampai FFFFh. Dan pin EA harus terhubung ke V_{CC} eksekusi program internal. Pin ini juga berfungsi menerima tegangan V_{PP} selama pemrograman PEROM menggunakan mode pemrograman 12 volt V_{pp} .

- i. XTAL1, berfungsi sebagai masukan ke penguat osilator pembalik dan ke rangkaian *clock* internal.
- j. XTAL2, berfungsi sebagai keluaran penguat *osilator* pembalik.

2.7.3. Organisasi Memori

Mikrokontroler AT89C52 mempunyai ruang pengalamatan data memori dan program memori yang terpisah.

2.7.3.1. Memori Program

Memori program adalah memori yang digunakan untuk menyimpan program aktual mikrokontroler. Panjang memori program maksimal mencapai 64kbyte. Peta program memori internal pada AT89C52 berawal dari 0000h sampai 1FFFh, yang berarti kapasitas yang dimiliki sebesar 8 kbyte. Untuk alamat 2000h sampai FFFFh dialokasikan sebagai memori eksternal dengan kapasitas maksimal 56 kbyte.

2.7.3.2. Memori Data

Mikrokontroler AT89C52 memiliki memori data internal sebanyak 256 byte, dengan alamat dari 00h sampai 0FFh. 128 byte pertama memori dapat diakses melalui pengalamatan langsung maupun tak langsung, sedangkan 128 byte berikutnya hanya bisa diakses melalui pengalamatan tidak langsung. Hal tersebut disebabkan karena adanya register khusus yang menggunakan alamat yang sama dengan memori data bagian atas (80h sampai 0FFh). Peta memori alamat 128 byte bawah, terdiri dari 32 byte register yang dikelompokkan dalam 4 *register bank* (R0 - R7) pada alamat 00h sampai 1Fh, 16 byte memori bit (bit 00 -

bit 7F) pada alamat 20h sampai 2Fh, 208 byte memori secara umum yang digunakan sebagai RAM data pengguna (30h sampai 0FFh).

2.7.3.3. Register Fungsi Khusus (SFR)

SFR (*special function register*) merupakan memori yang mengatur fungsi tertentu dari prosesor AT89C52. SFR hanya dapat diakses melalui pengalamatan langsung dengan alamat 80h sampai 0FFh.

00	R0	R1	R2	R3	R4	R5	R6	R7	Reg. Bank 0
08	R0	R1	R2	R3	R4	R5	R6	R7	Reg. Bank 1
10	R0	R1	R2	R3	R4	R5	R6	R7	Reg. Bank 2
18	R0	R1	R2	R3	R4	R5	R6	R7	Reg. Bank 3
20	00	08	10	18	20	28	30	38	Bits 00-3F
28	40	48	50	58	60	68	70	78	Bits 40-7F
30									General RAM 30 - 7F
...									
78									
80	P0	SP	DPL	DPH				PCON	
88	TCON	TMOD	TL0	TL1	TH0	TH1			
90	P1								
98	SCON	SBUF							
A0	P2								
A8	IE								
B0	P3								
B8	IP								
C0									
C8	T2CON		RCAP2L	RCAP2H	TL2	TH2			
D0	PSW								
D8									
E0	ACC								
E8									
F0	B								
F8									

Tabel 2.2 Peta RAM internal AT89C52

2.7.4. Register

Register-register dalam mikrokontroler *AT89C52* adalah antara lain *accumulator* (A), register B, register R, *Data Pointer* (DPTR), *Program Counter* (PC), dan *Stack Pointer* (SP). Masing-masing register ini dapat diterangkan sebagai berikut.

2.7.4.1. Register A dan B

Register A atau *accumulator* merupakan register umum untuk mengakumulasi hasil dari instruksi-instruksi. *Accumulator* mempunyai lebar data 8 bit (1 byte) dan merupakan register yang paling sering dipakai. Hampir lebih dari separuh dari instruksi keluarga *AT89C52* menggunakan register *accumulator*. Register B merupakan register penampung 8 bit (1 byte) tetapi terbatas hanya untuk perintah perkalian (MUL) dan perintah pembagian (DIV).

2.7.4.2. Register R

Register R adalah terdiri dari delapan buah register 8 bit yang dinamakan R0, R1, R2, R3, R4, R5, R6, dan R7. Register-register ini merupakan register serba guna dan dapat digunakan sebagai register penampung sementara. Khusus untuk register R0 dan R1, kedua register ini dapat digunakan untuk menyimpan alamat pointer.

2.7.4.3. DPTR, PC, dan SP

DPTR (*Data Pointer*) merupakan register 16 bit untuk menyimpan alamat pointer. DPTR digunakan untuk perintah-perintah pengaksesan memori eksternal yang mempunyai lebar alamat 16 bit. Sedang PC (*Program Counter*) merupakan register 2 byte yang memberitahu *AT89C52* di mana instruksi selanjutnya akan

dilaksanakan. Saat AT89C52 inialisasi, PC selalu berisi 0000h dan bertambah satu setelah sebuah perintah dieksekusi. Register PC tidak dapat diubah nilainya secara langsung dengan perintah MOV. Nilai PC akan berubah oleh perintah-perintah yang berhubungan dengan lompatan (JMP). Sementara itu *Stack Pointer* (SP) merupakan register 8 bit yang digunakan untuk menunjukkan di mana harga berikutnya yang akan diambil dari *stack*. Jika suatu harga dimasukkan dalam *stack*, AT89C52 pertama-tama akan menambah harga SP dan kemudian menyimpan harga tersebut pada alamat memori yang bersesuaian. Kemudian jika suatu harga diambil dari *stack*, maka AT89C52 akan mengambil harga dari *stack* dan kemudian mengurangi harga SP.

2.7.5. Mode Pengalamatan

AT89C52 mempunyai 5 buah mode pengalamatan, yaitu *immediate addressing*, *direct addressing*, *indirect addressing*, *External Direct*, dan *External Indirect*.

Immediate addressing atau pengalamatan segera adalah pengalamatan dengan memberikan nilai/harga yang akan disimpan ke dalam memori secara langsung. Contohnya perintah MOV A,#20h akan mengisi akumulator dengan harga 20h.

Direct addressing atau pengalamatan langsung merupakan pengalamatan yang mengambil nilai yang disimpan dalam memori secara langsung dari lokasi memori yang lain. Contoh perintah berupa MOV A,30h yang akan membaca data yang berada pada RAM internal dengan alamat 30h dan menyimpannya dalam *accumulator*.

Indirect addressing atau pengalamatan tidak langsung, digunakan untuk mengakses 128 byte RAM internal bagian atas. Pengalamatan ini memanfaatkan register-register penunjuk seperti R0 – R7 dan DPTR, serta menggunakan simbol @ untuk menunjukkan isi dari alamat lokasi memori yang ditunjukkan oleh suatu register penunjuk. Contoh perintah `MOV A,@R0` akan mengisi *accumulator* dengan nilai pada alamat yang ditunjukkan oleh R0.

External Direct merupakan pengalamatan yang digunakan untuk mengakses memori eksternal yang berfungsi seperti pengalamatan langsung. Ada dua perintah yang dipergunakan mode pengalamatan ini:

```
MOVX A,@DPTR
```

```
MOVX @DPTR,A
```

Kedua perintah ini mempergunakan DPTR, yang mempunyai kapasitas 16 bit. Pada perintah pertama DPTR akan memuat alamat memori eksternal yang akan dibaca/ditulis dan DPTR menahannya. Isi dari alamat tersebut kemudian dibawa ke *accumulator*. Perintah kedua sebaliknya, membaca/menulis harga *accumulator* ke alamat eksternal yang ditunjukkan DPTR.

External Indirect digunakan untuk mengakses RAM eksternal dan menggunakan bentuk dari pengalamatan tidak langsung. Contoh perintah `MOVX @R0,A` nilai R0 pertama akan dibaca dan nilai akumulator kemudian ditulis pada alamat RAM eksternal tersebut.

2.7.6. Timer

Mikrokontroler AT89C52 mempunyai tiga buah *timer* 16 bit, masing-masing timer 0, timer 1 dan timer 2. Ketiga *timer* ini dapat difungsikan sebagai

timer atau penghitung waktu, pencacah dan sebagai pembangkit *baud rate* untuk komunikasi serial. Setiap *timer* dapat dikonfigurasi dan dibaca sendiri-sendiri.

Untuk mengkonfigurasi ketiga *timer* ini digunakan register-register kendali dalam SFR yaitu TMOD dan TCON untuk mengkonfigurasi timer 0 dan timer 1. Konfigurasi bit-bit pada kedua register ini ditunjukkan dalam tabel 2.5 dan tabel 2.6. Sedang tabel 2.7 menunjukkan kombinasi bit M0 dan M1 yang akan menentukan mode *timer*.

Register kendali TCON merupakan register yang dapat diakses per bit yang digunakan untuk mengaktifkan dan mematikan *timer*, menentukan jenis interupsi eksternal *timer* dan untuk menandakan adanya *overflow flag*. Sedang register TMOD bukan merupakan register yang dapat dialamati per bit. Kedua register ini digunakan untuk menentukan mode operasi dari timer 0 dan timer 1.

Tabel 2.3 Definisi bit-bit pada register TCON.

Nama	Bit	Fungsi
TF1	TCON.7	<i>Timer 1 overflow flag</i>
TR1	TCON.6	Bit <i>on/off timer 1</i> (1 <i>timer on</i> /0 <i>timer off</i>)
TF0	TCON.5	<i>Timer 0 overflow flag</i>
TR0	TCON.4	Bit <i>on/off timer 0</i> (1 <i>timer on</i> /0 <i>timer off</i>)
IE1	TCON.3	Interupsi 1 edge flag eksternal
IT1	TCON.2	Tipe interupsi 1 bit kendali
IE0	TCON.1	Interupsi 0 edge flag eksternal
IT0	TCON.0	Tipe interupsi 0 bit kendali

Tabel 2.4 Register kontrol TMOD

Timer 1				Timer 0			
GATE	C/T	M1	M0	C/T	C/T	M1	M0

GATE : Jika bit ini diset, *timer* hanya akan bekerja jika INT1 (P3.3) berlogika 1. Jika bit ini dinolkan, *timer* hanya bekerja jika TR1=1.

C/T : Pemilih fungsi *timer*/konter, jika diset 1 maka timer 1 berfungsi sebagai konter dan jika diset 0 berfungsi sebagai *timer*.

M1 dan M0 : Pemilih mode operasi.

Tabel 2.5 Kombinasi mode operasi timer 0 dan 1.

M1	M0	Mode	Operasi
0	0	0	<i>Timer</i> 13 bit
0	1	1	<i>Timer</i> /konter 16 bit
1	0	2	<i>Timer</i> auto reload 8 bit (pengisian otomatis)
1	1	3	<i>Timer</i> terbagi (8 bit)

Register T2MOD dan T2CON digunakan untuk mengkonfigurasi timer 2. T2CON merupakan register yang dapat diakses per bit yang digunakan untuk mengaktifkan dan mematikan *timer* 2, menentukan jenis interupsi eksternal *timer* dan untuk menandakan adanya *overflow flag*.

Nilai aktual pencacahan dari ketiga *timer* disimpan dalam SFR yaitu pada register TH0/TL0 untuk TIMER 0, TH1/TL1 untuk TIMER 1 dan TH2/TL2 untuk TIMER 2. Tiap-tiap register tersebut merupakan register 8 bit. TH menunjukkan byte atas dan TL menunjukkan byte bawah dari harga pencacahan masing-masing *timer*.

Tabel 2.6 Definisi bit-bit pada register T2CON.

Nama	Bit	Fungsi
TF2	T2CON.7	Timer 2 <i>overflow flag</i>
EXF2	T2CON.6	Timer 2 <i>external flag</i>
RCLK	T2CON.5	<i>Receive clock flag</i>
TLCK	T2CON.4	<i>Transmit clock flag</i>
EXEN2	T2CON.3	Timer 2 <i>external enable flag</i>
TR2	T2CON.2	Bit <i>on/off timer 2</i> (1 timer on/0 timer off)
C/T2	T2CON.1	Pilihan <i>timer/counter</i> (0=internal ; 1=eksternal)
CP/RL2	T2CON.0	<i>Capture/reload flag</i>

Tabel 2.7 Register kontrol T2MOD

-	-	-	-	-	-	T2OE	DCEN
Bit 7	6	5	4	3	2	1	0

-- : Tidak digunakan

T2OE : *Timer 2 Output Enable bit.*

DCEN : Jika diset, timer 2 dapat dikonfigurasi sebagai *up/down counter*.

2.7.7. Interupsi

Interupsi merupakan suatu kejadian yang akan menghentikan sementara jalannya program yang sedang berjalan untuk menjalankan suatu subrutin (*interrupt handler*) tertentu. Setelah subrutin interupsi selesai dikerjakan maka program yang dihentikan tadi akan dilanjutkan kembali secara normal. *Interrupt handler* akan dijalankan hanya jika ada kejadian (*event*) tertentu seperti *timer overflow*, *external interrupt* atau aktifnya port serial.

Setiap saluran interupsi mempunyai alamat vektor pelayanan interupsi yang tetap seperti diperlihatkan dalam tabel 2.8. Setelah layanan interupsi pada alamat vektor tertentu selesai dikerjakan maka untuk kembali ke program semula digunakan perintah RETI (*return from interrupt routine*).

Tabel 2.8 Alamat vektor pelayanan interupsi

Sumber Interupsi	Alamat Vektor
IE0	0003H
TF0	000BH
IE1	0013H
TF1	001BH
R1 & T1	0023H
TF2 & EXF2	002BH

Untuk mengkonfigurasi setiap saluran interupsi digunakan register *interrupt enable* (IE) pada SFR. Selain itu interupsi bisa dikonfigurasi level prioritasnya dengan mengatur bit-bit pada register *interrupt priority* (IP). Isi bit-bit pada register IE dan IP seperti pada tabel 2.9 dan tabel 2.10.

Tabel 2.9 Bit-bit register *interrupt enable* (IE).

Nama	Bit	Fungsi
EA	IE.7	Jika EA = 0 semua saluran interupsi tertutup, EA = 1 saluran interupsi bisa digunakan
-	IE.6	Tidak dipakai
ET2	IE.5	Pengaktifan interupsi jika <i>timer 2 overflow</i>
ES	IE.4	Interupsi melalui port serial
ET1	IE.3	Pengaktifan interupsi jika <i>timer 1 overflow</i>
EX1	IE.2	Pengaktifan interupsi melalui $\overline{\text{INT1}}$
ET0	IE.1	Pengaktifan interupsi jika <i>timer 0 overflow</i>
EX0	IE.0	Pengaktifan interupsi melalui $\overline{\text{INT0}}$

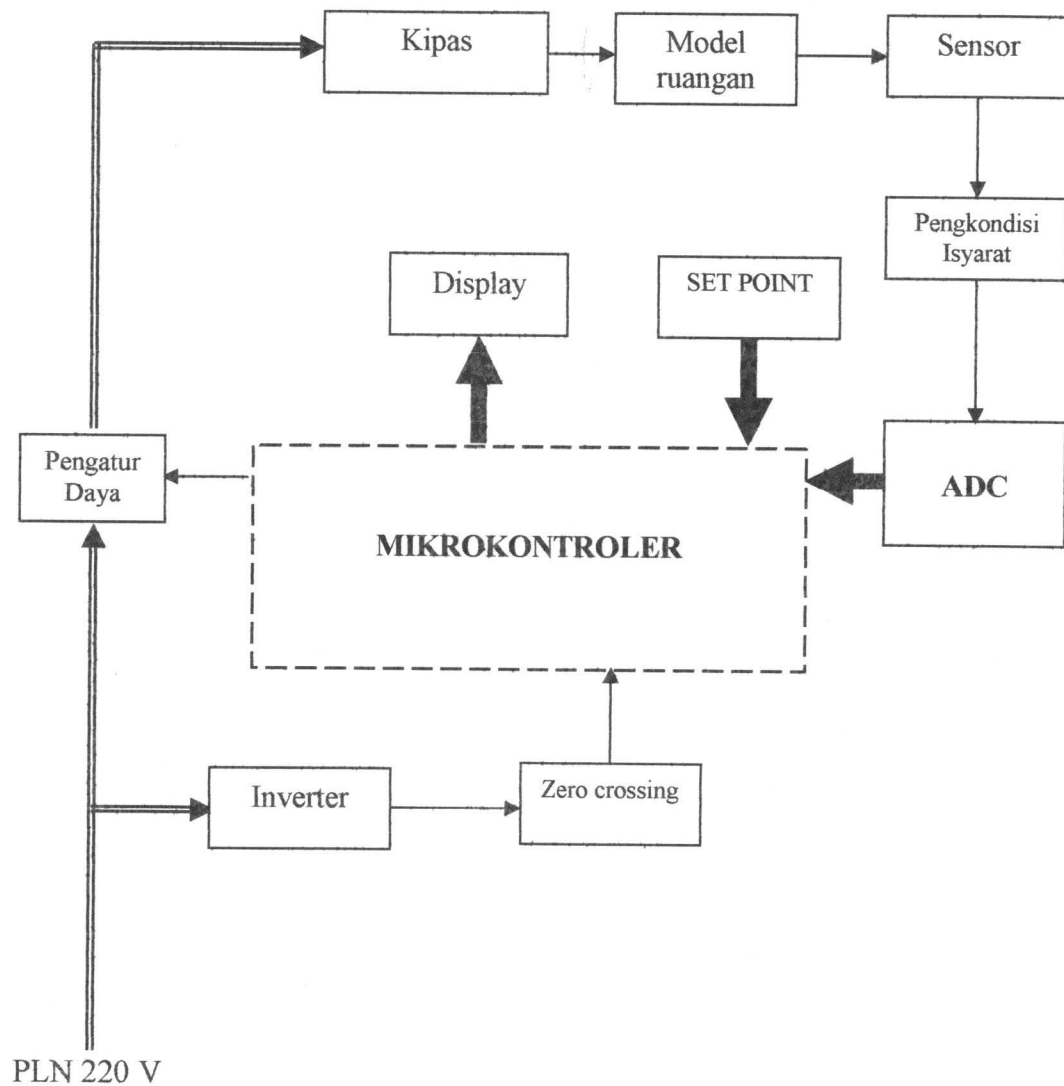
Tabel 2.10 : Bit-bit register *interrupt priority* (IP).

Nama	Bit	Fungsi
-	IP.7	Tidak dipakai
-	IP.6	Tidak dipakai
PT2	IP.5	Prioritas interupsi melalui <i>timer 2</i>
PS	IP.4	Prioritas interupsi melalui port serial
PT1	IP.3	Prioritas interupsi melalui <i>timer 1</i>
PX1	IP.2	Prioritas interupsi melalui $\overline{\text{INT1}}$
PT0	IP.1	Prioritas interupsi melalui <i>timer 0</i>
PX1	IP.0	Prioritas interupsi melalui $\overline{\text{INT0}}$

BAB III
PERANCANGAN SISTEM

3.1. Blok Diagram

Diagram kotak Sistem kendali Pengatur kecepatan kipas angin sesuai dengan suhu ruangan ditunjukkan pada gambar 3.1



Gambar 3.1 Diagram blok pengaturan kipas angin berdasarkan suhu ruangan dengan menggunakan logika *Fuzzy*

Mikrokontroler digunakan sebagai unit utama untuk pengendalian. Mikrokontroler memperoleh masukan dari sensor suhu yang dikonversi menjadi sinyal digital oleh unit ADC. Data masukan akan diolah oleh mikrokontroler yang telah di program dengan algoritma kendali *fuzzy* untuk mengumpankan sinyal keluaran pada unit pengatur fase.

Unit pengatur fase mengubah sudut picu dengan acuan dari unit *zero crossing* detektor. Sehingga posisi acuan awal untuk menentukan letak posisi sudut picu dapat ditentukan berdasarkan acuan dari unit *zero crossing* detektor.

Perubahan sudut picu akan digunakan untuk mengendalikan aliran arus yang diumpankan pada kipas. Unit yang digunakan untuk mengendalikan aliran arus pada kipas adalah triac.

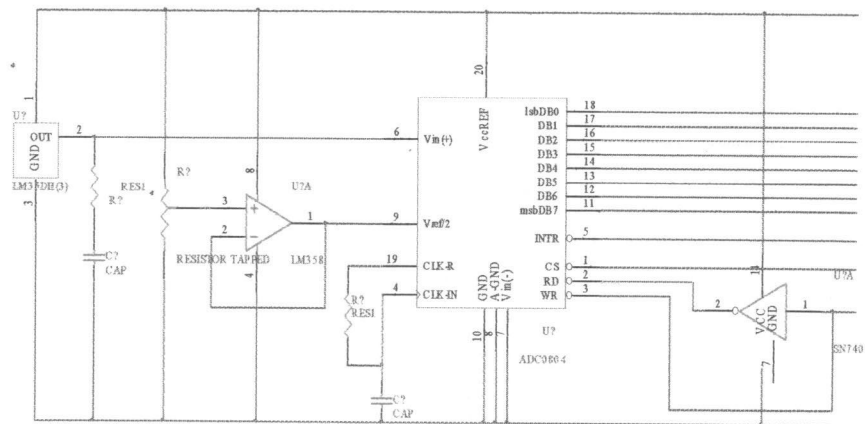
3.2. Perangkat Keras

3.2.1. Sensor LM 35 dan ADC

Sensor suhu LM 35 merupakan sensor temperatur dalam paket plastik type To-46 hermetic (kedap udara). LM 35 dapat membaca pengeseran suhu dan merubah suhu menjadi tegangan, yaitu $\pm 10.0 \text{ mV} / ^\circ\text{C}$, dan tegangan ini langsung dihubungkan dengan masukan ADC 0804 untuk dikonversi menjadi digital.

Inverter ADC 0804 menggunakan sistem pendekatan berturut-turut (*Successive Approximation*). Metode pendekatan berturut-turut merupakan proses pendekatan tegangan analog dengan mencoba satu bit setiap saat dimulai dari MSB. ADC 0804 dalam mengkonversi membutuhkan tegangan referensi pada pin 9. Agar tegangannya stabil dibutuhkan sebuah penyangga, maka dipakailah IC LM 358 dengan penguatan satu kali. Kemudian tegangan referensi tersebut dapat

di setel lewat VR yang sekaligus dapat mengkalibrasi sensor. Gambar 3.2 untainya dapat dilihat sebagai berikut :

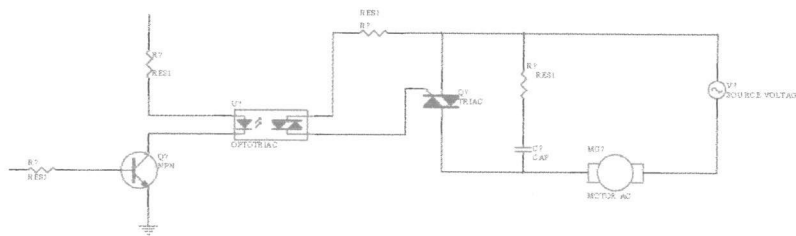


Gambar 3.2 Rangkaian sensor LM35 dengan ADC

3.2.2. Untai Pengatur Daya

Bagian pengatur daya dibentuk dengan R1, R2, transistor, MOC 3021, TRIAC Q1 dan kipas sebagai beban. Bagian ini langsung berhubungan dengan sumber tegangan jala-jala listrik 220 Volt, agar tegangan jala-jala terpisah dari bagian lainnya, dipakai Opto Isolator MOC 3021 untuk menghubungkan mikrokontroler AT89C52 dengan TRIAC.

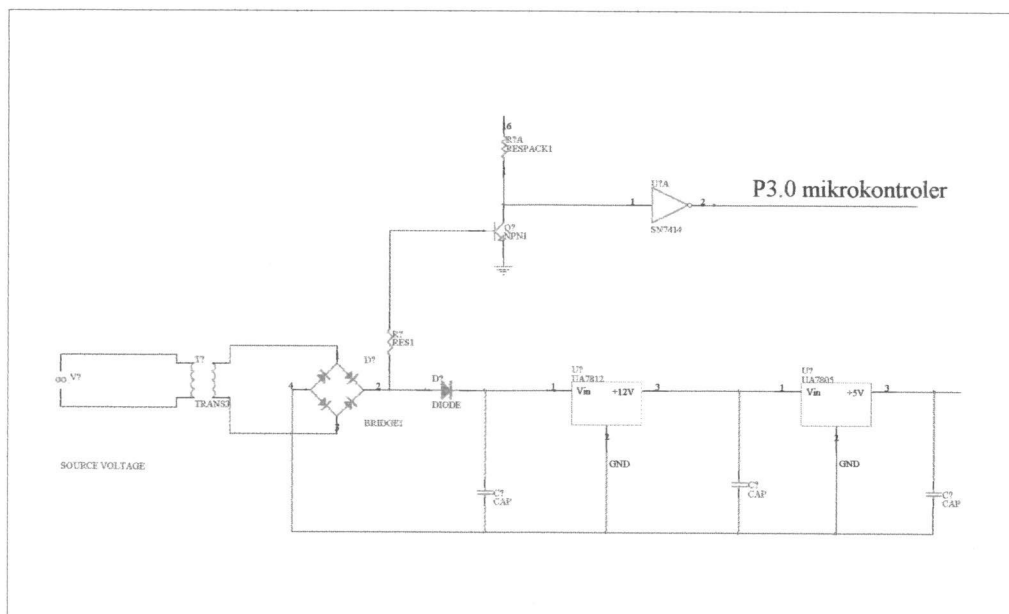
Bagian input dari MOC 3021 merupakan RED yang dinyala-padamkan oleh AT89C52 lewat resistor R1, instuksi CLR P1.7 akan mengakibatkan port 1.7 menyalurkan arus dari Vcc lewat RED dari ground sehingga RED menyala. Mengakibatkan triac dibagian Output MOC 3021 menjadi 'on' dan mengalirlah arus gate TRIAC Q1 lewat resistor R2 selanjutnya TRIAC akan 'on' dan kipas akan menyala.



Gambar 3.3 Rangkaian MOC 3021

Agar bisa menentukan waktu tunda dengan tepat untuk mendapatkan hasil pengaturan daya yang akurat, mikrokontroler harus mengetahui saat titik nol (*zero crossing*) dari tegangan jala-jala listrik. Bagian ketiga merupakan bagian pemantau titik nol tegangan jala-jala listrik yang dibentuk dengan transistor NPN Q2, resistor R3 dan diode D2 dan IC pembalik 74LS04.

Rangkaian ini dihubungkan pada rangkian catu daya dengan cara memasukan Diode D2 antara jembatan diode D1 dan Kapasitor C5, maksudnya agar pada ujung kanan resistor R3 masih berupa tegangan searah yang belum diratakan. Tegangan ini setelah lewat transistor NPN Q2 berubah bentuk menjadi gelombang kotak yang diumpankan ke kaki IC74LS04 untuk dilakuakn pembalikan. Keluaran IC74LS04 diumpankan ke kaki P3.0/INT0 (kaki6) AT89C52. Setiap kali tegangan jala-jala listrik mulai meninggalkan titik nol, gelombang kotak akan berubah dari '1' menjadi '0' yang merupakan sinyal permintaan intrupsi bagi AT89C52.



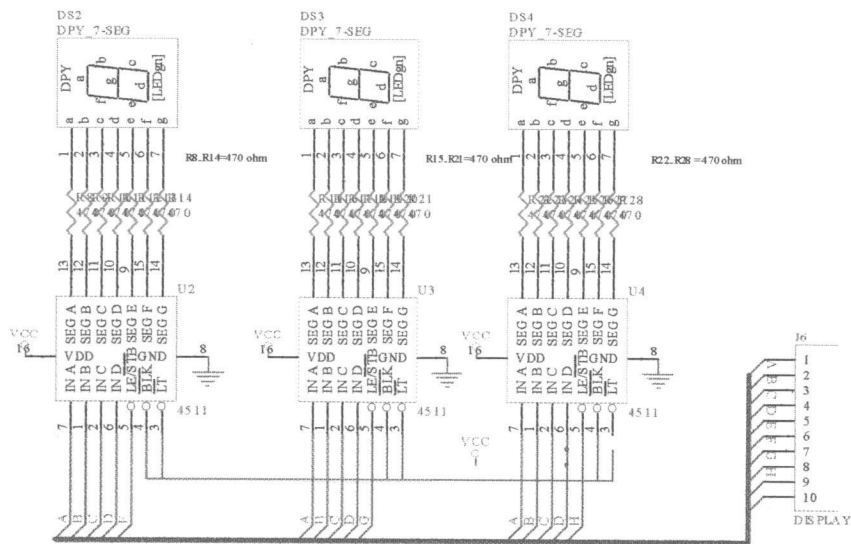
Gambar 3.4 Rangkaian *Zero Crossing*

3.2.3. Untai Penampil

Untai penampil ini digunakan untuk menampilkan suhu yang dikeluarkan oleh sensor, dan untuk mengetahui berapa suhu yang ada disekitar ruangan.

Tampilan menggunakan 3 buah 7 segmen yang dilengkapi dengan *driver* berupa IC CMOS 4511 dengan masukan BCD. Masukan IC driver ini berasal dari port A PPI 8255 pada papan sistem minimal mikrokontroler. Bit 0 sampai bit 3 menjadi masukan BCD ke *driver*, sedang bit 4 sampai bit 7 menjadi masukan *chip select* pada ketiga IC *driver* tersebut. IC *driver* akan aktif apabila mendapat masukan rendah atau nol pada pin *chip select*-nya.

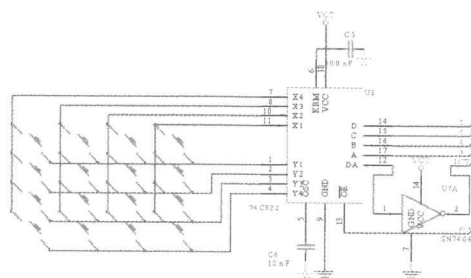
Sehingga untuk menampilkan besar suhu ruangan, mikrokontroler cukup dengan mengirimkan data suhu tersebut dan data posisi bilangan ke IC 4511 yang akan ditampilkan oleh 7 segment.



Gambar 3.5 Rangkaian Penampil

3.2.4. Keypad

Keypad untuk memasukan set point suhu, dengan menggunakan encoder IC 74C992. Prinsip kerja dari encoder ini setiap tombol dihubungkan dalam bentuk matrik, salah satu tombol yang ditekan akan di kodekan menjadi kode BCD pada port keluraran IC bersamaan dengan itu pula pin INT akan berlogika tinggi yang mengimpormasikan ada tombol yang ditekan. Karena pin INT pada mikrokontroler aktif rendah.



Gambar 3.6 Rangkaian keypad

3.2.5. Kipas Motor AC

Kipas motor AC ini untuk menurunkan temperatur ruangan, digunakan kipas yang diputar oleh motor arus bolak-balik, sebagaimana lazimnya mesin yang dapat dibagi dalam generator dan motor, maka demikian juga pada mesin induksi. Akan tetapi generator induksi jarang dipergunakan karena penampilan atau karakteristiknya yang kurang memuaskan. Sedang motor induksi justru banyak dipergunakan sebagai tenaga penggerak dalam industri.

Prinsip kerja motor induksi adalah dihasilkannya medan magnet putar .

Cara kerjanya sebagai berikut :

- Belitan stator yang dihubungkan dengan sumber satu fase menghasilkan medan magnet dalam celah udara dan berotasi dengan kecepatan sinkron.
- Medan magnet putar memotong badan penghantar pada rotor yang menimbulkan tegangan induksi.
- Tegangan induksi menyebabkan adanya arus pada kumparan rotor.
- Arus didalam medan magnet menimbulkan gaya pada rotor.
- Perbedaan relatif antara kecepatan motor putar stator dengan kecepatan putar rotor sedikit lebih lambat dari putaran medan stator.
- Bila perbandingan slip tegangan tidak akan terinduksi dan arus tidak akan mengalir pada kumparan rotor maka tidak akan dihasilkan torsi.
- Motor induksi disebut motor tak serempak atau asinkron.

3.3. Perancangan Program

Program yang digunakan adalah bahasa assembly untuk keluarga MCS51. Program ditulis dengan editor biasa dan dikompiler menggunakan kompiler ASM51. Setelah perancangan perangkat keras yang berupa sistem minimal AT89C52 serta perancangan Logika *Fuzzy* berhasil dilakukan maka langkah berikutnya, adalah merancang perangkat lunak sebagai langkah penerapan rancangan yang telah dibuat guna mencapai tujuan pengendalian .

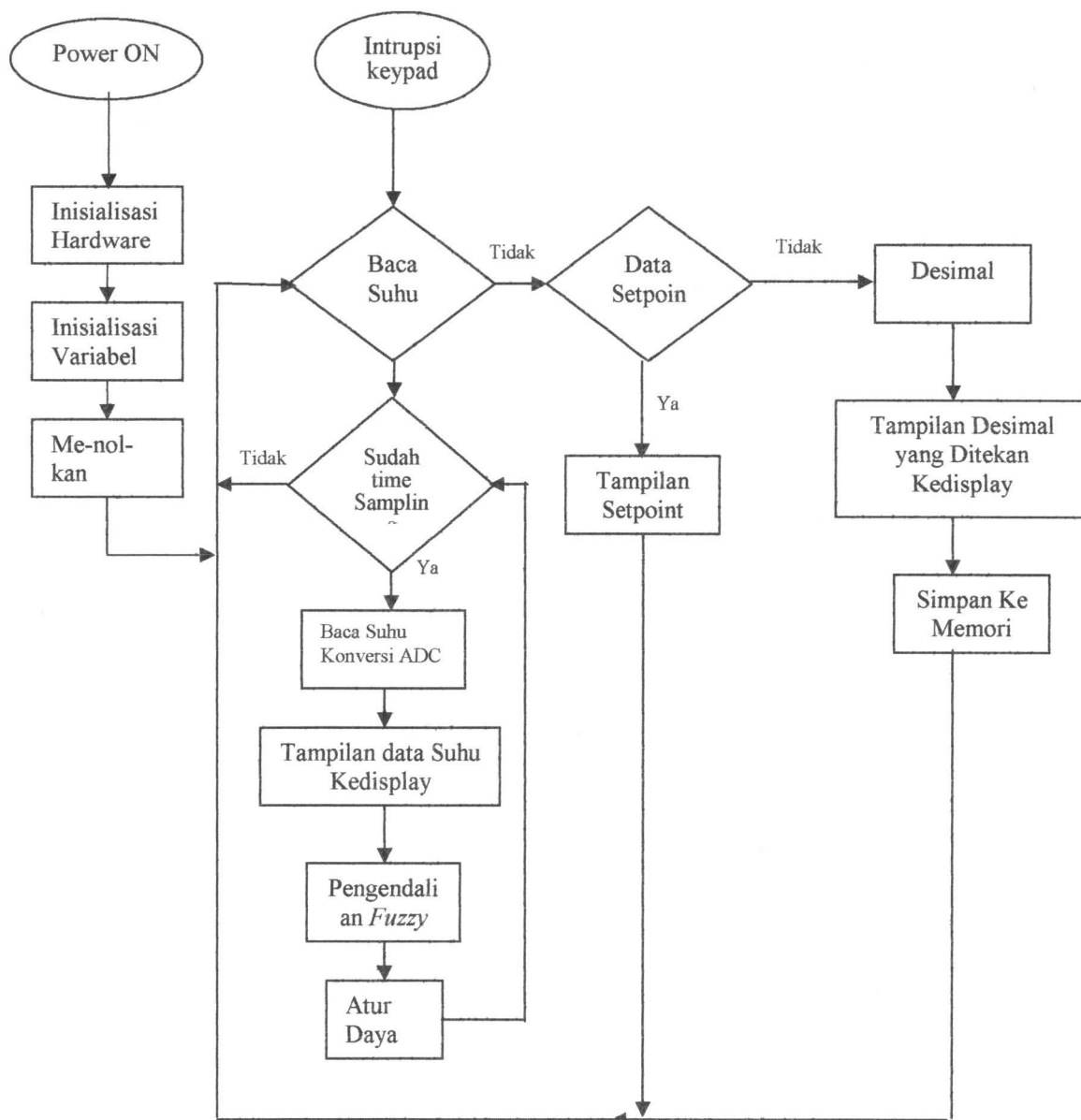
Perangkat lunak ini dibuat dengan bahasa assembler mikrokontroler ASM-51, kemudian dikompilasi untuk menghasilkan file listing dan heksadesimal dengan kompiler khusus ASM-51. File heksadesimal kemudian didownload ke flash ROM sistem minimal AT89C52 dengan menggunakan *down loader*.

3.3.1. Program Utama

Program utama menginisialisasi nilai variabel atau menentukan operasi suatu komponen. Pada tugas akhir ini inisialisasi komponen digunakan untuk menginisialisasi PPI 8255 yang port-port nya dibuat sebagai keluaran. Sedangkan inisialisasi yang lain hanya memberi nilai awal yang lain untuk suatu variabel.

Register-register yang menampung variabel untuk tampilan diberi nilai nol. Kemudian program utama mendeteksi terjadinya penekanan tombol melalui flag yang dikirimkan oleh prosedur layanan intrupsi keypad. Prosedur layanan intrupsi keypad memberi tanda untuk program utama agar mengeksekusi rutin-rutin mengubah data set point.

Program utama juga menunggu flag waktu sampling untuk memerintahkan ADC mengkonversi sinyal suhu. Flag waktu sampling diaktifkan oleh prosedur layanan intrupsi eksternal nol. Bila flag waktu sampling set maka terjadi proses konversi dan kemudian program akan memanggil prosedur menampilkan suhu dan juga memanggil prosedur untuk melakukan pengendalian dengan algoritma *fuzzy*.



Gambar 3.7 Diagram alir Program Utama

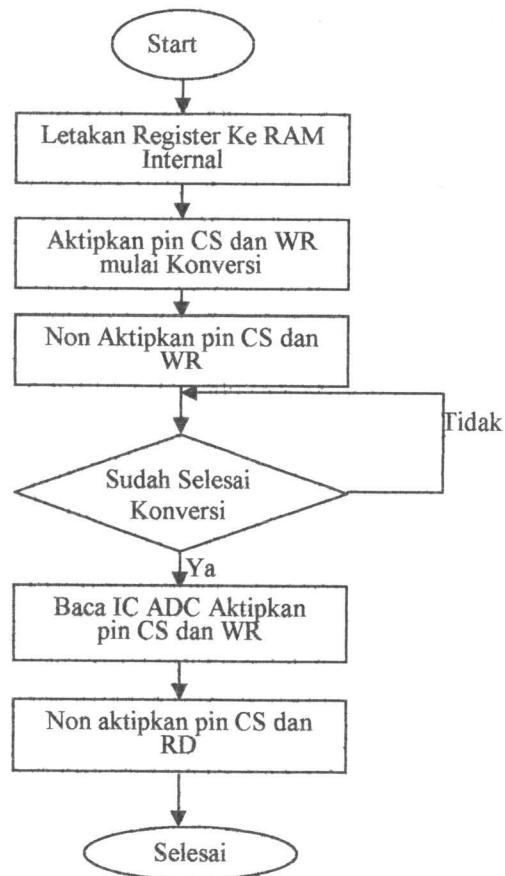
Pada saat alat dijalankan akan tampil menu utama. Menu utama ini akan menunggu masukan dari tombol 0..9 (keypad). RUN, STOP. Adapun penjelasan dari tombol-tombol penting ini dijelaskan pada tabel 3.1.

Tabel 3.1 Keterangan tombol-tombol perancangan perangkat lunak

No	Tombol	Keterangan
1	Keypad(0..9)	Memasukan data setpoint
2	RUN #	Menampilkan data suhu dan proses kendali <i>fuzzy</i> berjalan.
3	STOP *	Memasukan set point dan menghentikan kendali <i>fuzzy</i> .

3.3.2. Prosedur ADC

Pada prosedur ini digunakan untuk menangani pembacaan suhu ruangan dari sensor Lm35.ADC yang digunakan memiliki resolusi 8 bit. Prosedur membaca ADC dengan enable CS untuk mengaktifkan bus data ADC agar dapat dibaca oleh mikrokontroler kemudian membuat low pin WRT sesaat dan membuat set pin CS kemudian rutin menunggu samapai pin EOC low sehingga data dapat dibaca oleh mikrokontroler. Data hasil bacaan dari ADC disimpan dalam variabel PV. Diagram alir rutin ADC seperti pada gambar 3.8.



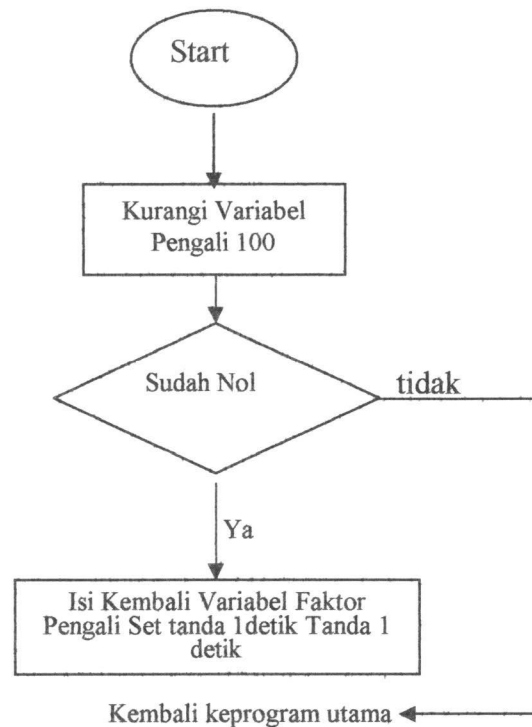
Gambar 3.8 Alir Konversi ADC

3.3.3. Prosedur *Zero Crossing*

Untai *zero crossing* menyediakan sinyal yang digunakan sebagai pulsa untuk membangkitkan intrupsi eksternal. Rutin layanan intrupsi eksternal digunakan untuk mematikan Triac dan untuk mengendalikan posisi hidup atau matinya Triac.

Dalam rutin layanan intrupsi terdapat nilai perbandingan antara pulsa terhadap pulsa maksimal yang sebenarnya digunakan untuk membaca nilai tabel yang akan dipindahkan pada register TH0 dan TL0. Nilai-nilai pada TH0 dan TL0 tersebut adalah nilai-nilai yang akan mengendalikan sudut picu Triac.

Rutin layanan intrupsi juga digunakan untuk menentukan proses konversi berdasarkan cacahan variabel TIX dan TS. Bila kedua variabel digunakan sebagai pencacah tersebut bernilai nol maka prosedur untuk membaca data dari ADC akan dilakukan. Diagram alir prosedur ini terdapat pada gambar 3.9



Gambar 3.9 Diagram Alir Prosedur Zerocrossing

3.4. Perancangan Penedali Logika *Fuzzy*

Pada tugas akhir ini perancangan logika *fuzzy* dilakukan dengan bantuan perangkat lunak MATLAB versi 5.2 khususnya *fuzzy editor*. Metode inferensi yang digunakan adalah metode MAX-MIN, sedangkan proses defuzzifikasinya menggunakan metode *center of area* (COA). Penjelasan mengenai kedua metode ini telah dijelaskan pada dasar teori.

Sedangkan penentuan rancangan logika *fuzzy* itu sendiri didasarkan pada pertimbangan berikut:

1. Tujuan pengendalian
2. Keterbatasan kemampuan perangkat keras (*hardware*).

Dengan pertimbangan kedua hal diatas diperoleh dua masukan ke logika *fuzzy* yaitu error (*err*) dan perubahan Δ error (delta error) serta satu keluaran logika *fuzzy* (*kel*). Error (*err*) adalah perbedaan antara set point (*s_p*) suhu dengan suhu saat itu (*p_v*), error ini mewakili kecepatan yang belum dicapai, dapat dirumuskan:

$$[s-p] - [p-v(k)] \quad (3.2)$$

Delta error adalah error dikurangi error saat itu dikurangi error sebelumnya:

$$D-err(k) = Err(k) - Err(k-1) \quad (3.3)$$

Suhu saat itu (*p_v*) merupakan nilai ADC yang dibaca. Selain pertimbangan diatas ada alasan lain digunakan kedua variabel tersebut sebagai masukan yaitu, penggunaan error saja sebagai masukan logika *fuzzy* hanya efektif untuk temperatur yang diinginkan itu besar berada dikawasan keanggotaan PE atau dikawasan keanggotaan NE untuk temperatur yang diinginkan kecil tidak akan tertangani karena batas fungsi keanggotaan error yang digunakan konstan, sehingga tujuan pengendalian tidak tercapai.

Pada persamaan 3.2 error diperoleh dengan mengurangi set point bila terdapat perubahan data bacaan ADC, sehingga error akan negatif atau positif. Bila error menjadi nol maka sudut picu terdapat pada titik dekat dengan titik nol, sehingga arus yang dihantarkan untuk memutar kipas sangat kecil. Sebaliknya bila

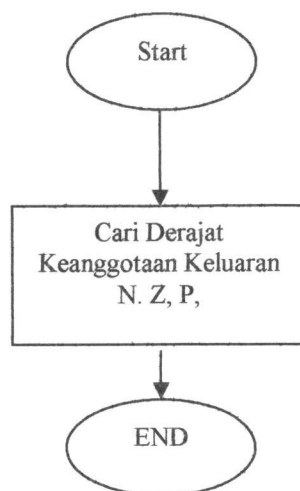
error yang terjadi positif dan maksimal, maka sudut picu akan terdapat jauh dari titik nol. Dari asumsi diatas dengan berdasarkan panjang maksimal bus data mikrokontroler maka semesta wacana untuk error minimal adalah 0°C sedangkan semesta wacana untuk error maksimal adalah 25°C atau minus 25°C . Untuk memudahkan dalam perancangan program jangkauan nilai minus 25°C dikonversi kedalam desimal menjadi -127 dan error maksimal 25°C menjadi 127 kemudian semua error dipetakan kedalam daerah positif menjadi 0 sampai 255.

Perubahan error digunakan untuk mempercepat proses pengendalian serta untuk menghilangkan osilasi pada saat terjadi perubahan mendadak terhadap sistem yang dikendalikan. Seperti dalam perancangan himpunan semesta untuk variabel masukan error, himpunan semesta perubahan error adalah 0 untuk perubahan nol dan positif atau negatif untuk perubahan error maksimal.

3.4.1. Prosedur Fuzzifikasi

Pengendali *fuzzy* terdiri dari tiga bagian yaitu fuzzifikasi, inferensi dan defuzzifikasi pada bagian ini akan dijelaskan prosedur fuzzifikasi menggunakan bahasa assembler MCS-51. proses fuzzifikasi dimaksudkan memetakan domain masukan teramati (himpunan tegas) ke domain logika *fuzzy* (himpunan *fuzzy*) yang telah ditentukan sebelumnya. Dalam tugas akhir ini proses fuzzifikasi menggunakan metode *look up tabel* untuk menentukan derajat keanggotaan himpunan masukan. Metode *look up tabel* digunakan selain lebih mudah juga karena keterbatasan mikrokontroler dalam perhitungan aritmatika diatas 8 bit. Derajat keanggotaan masukan untuk masing-masing fungsi keanggotaan masukan

diberikan pada lampiran (listing program). Diagram alir yang memperlihatkan aliran program fuzzifikasi diperlihatkan pada gambar 3.10.



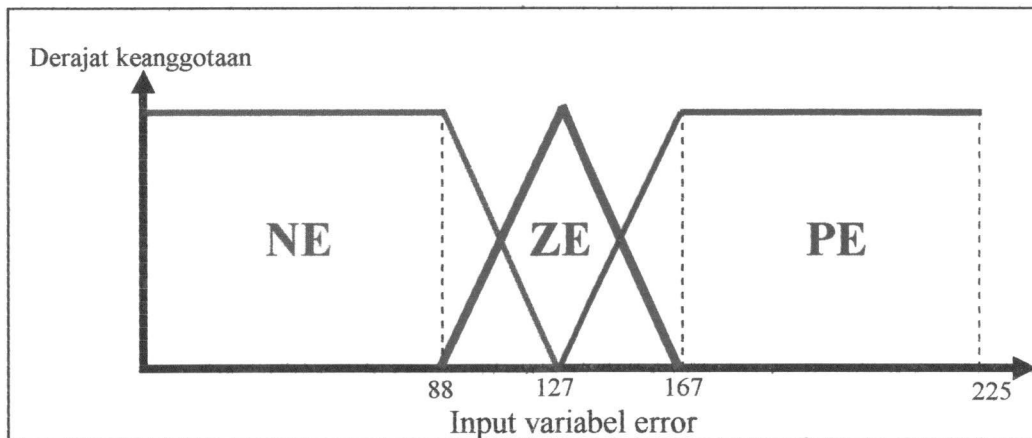
Gambar 3.10 diagram alir proses inferensi

3.4.2. Fuzzifikasi

Fungsi keanggotaan diperoleh dengan menggunakan cara *trial and error* (coba-coba) diperoleh fungsi keanggotaan error seperti pada gambar 3.11.

Keanggotaan himpunan *fuzzy* pada rancangan ini dinyatakan dalam definisi fungsional, yaitu dengan cara analisis untuk menentukan derajat keanggotaan untuk setiap elemen pada semesta pembicaraan.

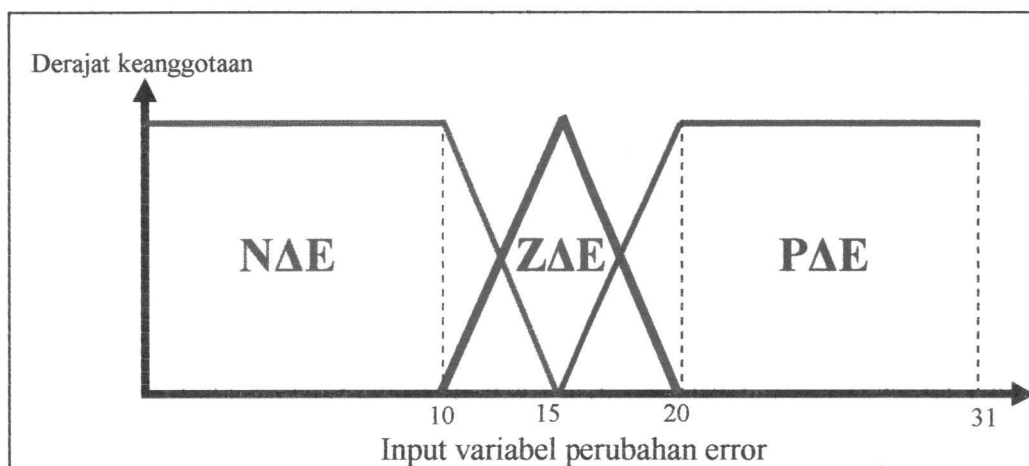
Fungsi keanggotaan *fuzzy* memiliki bentuk yang berbeda-beda tergantung pada pengalaman perancang. Namun untuk kemudahan dari segi komputasi dipilih bentuk segitiga, untuk mewujudkan kedua bentuk tersebut dapat dilihat pada gambar 3.11.



Gambar 3.11 Fungsi keanggotaan masukan error (err)

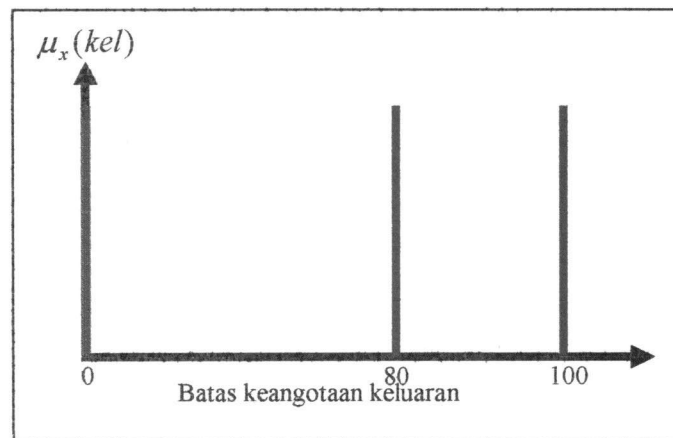
Fungsi keanggotaan input yang digunakan berupa gabungan fungsi keanggotaan segitiga dan trapesium. Error maksimal mencapai desimal 127 sesungguhnya adalah 25°C .

Fungsi keanggotaan perubahan error ditentukan dengan cara mencoba memetakan variabel input error dan mengamati pengaruhnya terhadap kecepatan putaran kipas. Fungsi keanggotaan error seperti pada gambar 3.12.



Gambar 3.12 Fungsi keanggotaan masukan delta error (err)

Fungsi keanggotaan keluaran digunakan fungsi keanggotaan *singletone* (konstan). Batas keanggotaan keluaran oleh NE, ZE, dan PE ditentukan berdasarkan sudut picu yang diinginkan fungsi keanggotaannya diperlihatkan pada gambar 3.13 batas keanggotaan keluarannya diperoleh melalui pengujian berulang ke palnt sesungguhnya diperoleh masing-masing $NE = 0$, $ZE = 80$ dan $PE = 100$, pada gambar tersebut $\mu_x(kel)$ adalah derajat keanggotaan himpunan *fuzzy* keluaran x dengan nilai maksimum adalah 255 (sesuai dengan resolusi mikrokontroler).



Gambar 3.13 Batas fungsi keanggotaan keluaran

Jumlah keanggotaan *fuzzy* masing-masing variabel ER , ΔER , suhu *setpoint* dan DI tidak harus seperti yang ditentukan di atas. Jumlah keanggotaan dapat dikurangi ataupun ditambahkan, tergantung dari kriteria kebutuhan. Sebagai contoh, variabel ER , ΔER , dapat mempunyai keanggotaan *Negatif (E)*, *Medium Error (ME)*, *Zero (ZE)* dan *Positif (PE)*.

3.4.3. Inferensi

Aturan-aturan logika *fuzzy* yang akan dipergunakan sangat tergantung pada sistem yang akan dikendalikan. Disamping itu tujuan pengendalian juga sangat mempengaruhi penentuan aturan-aturan kendali. Pengendalian suhu melalui pengaturan tegangan mempunyai aturan kendali yang unik. Tidak ada rumusan yang pasti dalam menentukan aturan-aturan *fuzzy* dan fungsi keanggotaan masukan dan keluaran. Pengetahuan seorang operator yang berpengalaman dalam pengendalian dapat dijadikan acuan dalam perancangan pengendali logika *fuzzy*.

Dalam menentukan fungsi keanggotaan himpunan *fuzzy*, yang perlu diperhatikan adalah nilai aktual variabel masukan dan keluaran dari pengendali logika *fuzzy* serta semesta pembicaraannya, yaitu rentang nilai yang mungkin dicapai. Faktor penting lain yang harus diperhatikan adalah *completeness*, yaitu suatu algoritma pengendali *fuzzy* harus mampu memutuskan aksi kendali yang tepat untuk semua masukan dalam semesta pembicaraan. Faktor *completeness* ini dipenuhi dengan merancang fungsi keanggotaan yang *overlapping* untuk menjamin semua nilai dapat diakomodasi oleh salah satu atau beberapa fungsi keanggotaan himpunan *fuzzy*.

Jumlah aturan *fuzzy* yang akan digunakan dalam basis aturan *fuzzy* dapat dipengaruhi oleh kriteria kualitas pengendalian yang ingin dicapai. Dalam pendekatan sistem ahli konvensional (*conventional expert system*), jika jumlah predikat untuk setiap masukan sebanyak m dan jumlah variabel masukan sistem sebanyak n , maka aturan sebanyak m^n jelas diperlukan untuk kelengkapan. Sementara basis aturan *fuzzy* memerlukan jumlah aturan yang lebih sedikit untuk

memenuhi kelengkapan. Jumlah aturan kendali *fuzzy* dapat lebih sedikit karena fungsi keanggotaan himpunan *fuzzy* yang *overlapping*, waktu komputasi akan lebih cepat dan kinerja pengendali akan lebih baik. Tidak ada prosedur umum yang dapat digunakan untuk menentukan jumlah aturan kendali *fuzzy* yang optimal, tetapi sejumlah faktor kriteria mempengaruhi pengambilan keputusan, yaitu kinerja pengendali, kinerja sistem keseluruhan, waktu komputasi, fungsi-fungsi keanggotaan untuk variabel kendali dan lain-lain.

Karena himpunan keanggotaan untuk masing-masing input logika *fuzzy* direncanakan hanya tiga keanggotaan yaitu negatif (NE), zero (ZE), positif (PE), maka aturan pengendaliannya (if then rule) akan menjadi 9 aturan. Aturan-aturan tersebut disusun berdasarkan tujuan pengendalian. Himpunan keanggotaan keluaran juga menggunakan tiga keanggotaan seperti dilihat pada tabel 3.2. Derajat keanggotaan masukan dibuat *singleton* untuk meningkatkan resolusi. Sedangkan batas-batas keanggotaan keluaran ditentukan berdasarkan kemampuan *timer* yang digunakan.

Aturan-aturan yang disusun digunakan untuk mengendalikan putaran motor AC untuk mengendalikan suhu ruangan tergantung temperatur suhu yang diinginkan.

Logika penentuan aturan kendali diberikan sebagai berikut

1. Jika error masih besar dan perubahan error positif berarti suhu yang diinginkan masih jauh, sudut picu akan dibuat lebar.
2. Jika error sudah kecil dan perubahan error positif kecil berarti suhu yang diinginkan hampir tercapai, sudut picu akan dibuat sempit.

3. Jika error kecil dan perubahan error nol berarti suhu yang diinginkan telah tercapai sehingga sudut picu akan di nol kan.

Berdasarkan tujuan pengendalian dan logika pemikiran diatas disusun 9 aturan kendali seperti diperlihatkan pada tabel 3.2

Pada perancangan ini digunakan aturan kendali aturan berjumlah.

Jika ada tiga masukan error dan ada tiga masukan *change error* maka akan ada tiga kali tiga aturan (*rules*).

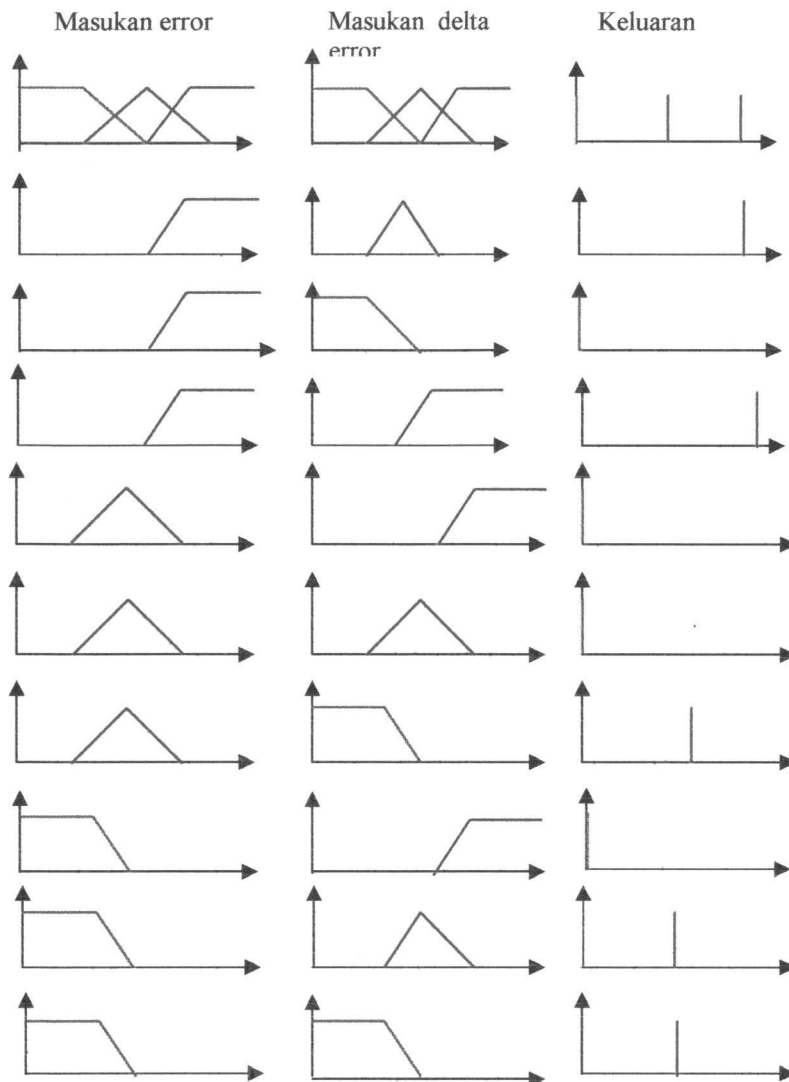
Dimana aturan tiga yang dibuat berdasarkan pengalaman, asumsi pembuat dan konsep aturan sederhana memakai pendekatan *hearistik*

Tabel 3.2 penentuan himpunan aturan

No aturan	Err	Δ Err	Kel	Keterangan (Err, Δ Err, kel)
1	P	Z	P	Error Positif, delta err nol, keluaran maksimal
2	Z	N	N	Error nol, delta err negatif, keluaran minimum
3	N	Z	N	Error negatif, delta err nol, keluaran minimum
4	Z	P	P	Error nol, delta err positif, keluaran maksimal
5	Z	Z	Z	Error nol, delta err nol, keluaran nol
6	P	N	P	Error positif, delta err negatif, keluaran nol
7	N	N	N	Error negatif, delta err negatif, keluaran minimum
8	N	P	N	Error negatif, delta err positif, keluaran nol
9	P	P	P	Error positif, delta err positif, keluaran maksimal

Gambar 3.14 berikut ini memperlihatkan secara grafis proses inferensi menggunakan metode MAX-MIN untuk tujuan pengendalian putaran kipas berdasarkan suhu, gambar 3.14 juga memperlihatkan alasan digunakannya variabel Δ err sebagai masukan logika *Fuzzy*. Suhu yang diharapkan (setpoint) adalah 30°C , pada kondisi awal himpunan masukan logika *fuzzy* 40°C , keluaran defuzzifikasi adalah sebagai berikut.

Keanggotaan masukan error tidak mengalami perubahan. Gambar 3.14 memperlihatkan fungsi keanggotaan masukan posisi (p_v) dan gambar 3.14 memperlihatkan fungsi keanggotaan keluaran setelah mengalami perubahan dan pengujian sesuai dengan tujuan pengendalian.



Gambar 3.14 proses inferensi dengan metode MAX-MIN

3.4.4. Prosedur Defuzzifikasi

Proses defuzzifikasi merupakan bagian akhir dari suatu logika *fuzzy* yang bertujuan untuk memetakan himpunan *fuzzy* hasil inferensi ke himpunan keluaran (himpunan tegas) yang berupa aksi kendali. Ada beberapa metode defuzzifikasi yang sering digunakan seperti *Mean OF Maximum (MOM)*, dan *Center OF Area*

(COA). Untuk penelitian ini digunakan metode COA dikarenakan kemudahan dalam komputasi, sifat kontinuitas dan kemudahan implementasinya. Fungsi keanggotaan keluaran yang digunakan adalah fungsi keanggotaan *singleton*. Untuk tujuan pengendalian suhu

3.4.5. Penegasan (Defuzzifikasi)

Setelah dilakukan evaluasi masukan menerapkan basis aturannya, pengendali logika *fuzzy* menghasilkan keluaran untuk diberikan pada sistem yang dikendalikan misalnya dengan cara mengeluarkan tegangan atau nilai arus listrik pada nilai tertentu untuk mengendalikan kecepatan putaran kipas angin. Pengendali logika *fuzzy* harus mengubah variabel keluaran *fuzzy* menjadi nilai-nilai tegas yang dapat digunakan untuk mengendalikan sistem. Proses ini disebut sebagai penegasan (defuzzifikasi).

Keluaran logika *fuzzy* (aksi kendali) digunakan untuk mengendalikan saklar triac untuk mengatur lamanya buka dan menutupnya saklar sehingga sebanding dengan daya yang disalurkan untuk mengatur putaran kipas. Besarnya aksi kendali sama dengan keluaran logika *fuzzy*, yang dirumuskan:

$$\text{Kel}(k) = \text{defuzzifer}(\text{kel}) \quad (3.3)$$

Defuzzifer yang digunakan untuk penelitian ini adalah metode *center of area* (COA), berdasarkan gambar 3.13 diperoleh hasil defuzzifikasi untuk tujuan pengendalian putaran kipas angin sesuai dengan suhu ruangan.

$$\text{kel} = \frac{\mu_{NE}(\text{kel}).0 + \mu_{ZE}(\text{kel}).80 + \mu_{PE}(\text{kel}).100}{\mu_{NE}(\text{kel}) + \mu_{ZE}(\text{kel}) + \mu_{PE}(\text{kel})}$$

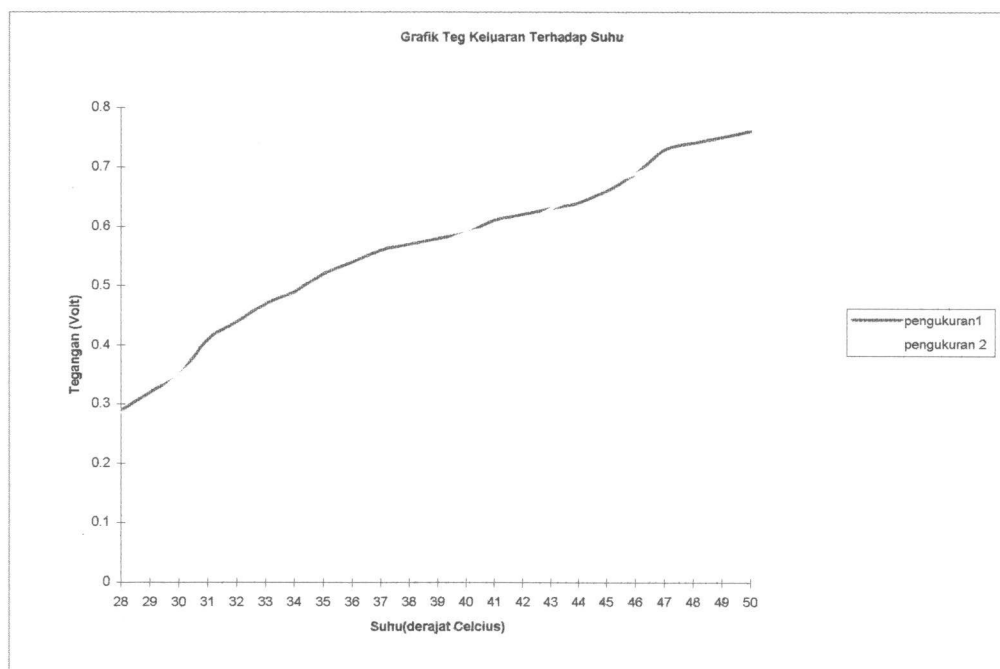
Kel adalah hasil proses defuzzifikasi, $\mu_{NE}(kel)$, $\mu_{ZE}(kel)$, $\mu_{PE}(kel)$ yang merupakan derajat keanggotaan keluaran masing-masing untuk NE, ZE, dan PE. 0, 80, dan 100 Adalah batas keanggotaan keluaran masing-masing untuk NE, ZE dan PE.

Tabel 4. 1. Pengkalibrasian LM 35

NO	Suhu	Pengukuran 1	Pengukuran 2
1	28 ⁰ C	0,28 V	0,28 V
2	29 ⁰ C	0,31	0,32 V
3	30 ⁰ C	0,35 V	0,35 V
4	31 ⁰ C	0,39 V	0,40 V
5	32 ⁰ C	0,41 V	0,44 V
6	33 ⁰ C	0,43 V	0,47 V
7	34 ⁰ C	0,45 V	0,49 V
8	35 ⁰ C	0,49 V	0,52 V
9	36 ⁰ C	0,51 V	0,54 V
10	37 ⁰ C	0,53 V	0,56 V
11	38 ⁰ C	0,55 V	0,57 V
12	39 ⁰ C	0,57 V	0,58 V
13	40 ⁰ C	0,59 V	0,59 V
14	41 ⁰ C	0,60 V	0,61 V
15	42 ⁰ C	0,61 V	0,62 V
16	43 ⁰ C	0,63 V	0,63 V
17	44 ⁰ C	0,65 V	0,64 V
18	45 ⁰ C	0,67 V	0,66 V
19	46 ⁰ C	0,69 V	0,69 V

20	47 ⁰ C	0,71 V	0,71 V
21	48 ⁰ C	0,73 V	0,74 V
22	49 ⁰ C	0,74 V	0,75 V
23	50 ⁰ C	0,75 V	0,76 V

Pengukuran tegangan keluran dilakukan dengan menggunakan voltmeter digital dan dibandingkan dengan suhu ruangan terukur termometer. Termometer yang digunakan bukan merupakan termometer standard untuk kalibrasi suhu.



Gambar 4.2 Grafik suhu terhadap tegangan keluaran sensor

Hasil pengujian tampak seperti pada tabel 4.1 dan gambar 4.2 yang menggambarkan bahwa hasil pengujian suhu telah menunjukkan kelinieran walaupun belum sesuai benar dengan koralitenstik yang ada pada data sheet.

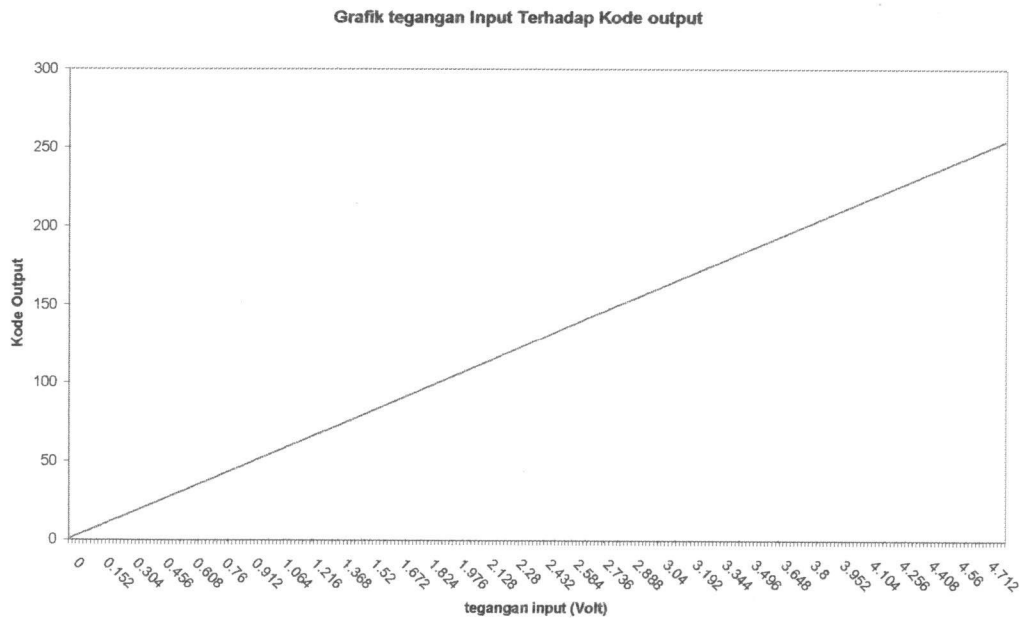
Belum sesuai kelinieran yang didapat dengan data sheet juga dikarenakan termometer yang digunakan untuk kalibrasi suhu bukan merupakan termometer standard yang digunakan untuk pengkalibrasian, sehingga pengukuran oleh termometer tidak dapat digunakan sebagai acuan pengukuran yang valid.

4.2. Pengujian ADC

Proses pengaksesan data dari ADC. Pada port P1.1 dihubungkan kaki CS dan port P1.2 dihubungkan dengan kaki WRT pada ADC. Dengan memberi pulsa sesaat pada kaki CS dan WRT maka ADC akan menjadikan aktif dan siap akan mengkonversi sinyal analog keluaran dari sensor arus. Pada saat konversi sinyal EOC akan *low*, jika konversi berhasil maka menunggu kapan waktu akan berakhir. Waktu konversi berakhir pada saat input atau output di data sheet waktu konversi berlangsung selama 100 nano detik (data sheet, 1989).

Setelah selesai konversi maka pada input atau output akan mendapat sinyal *high* instruksi selanjutnya adalah membaca data yang telah dikonversi.

Pengujian ADC dilakukan dengan mengamati hasil konversi pada kaki data ADC (D0-D7) dengan melakukan variasi tegangan pada input analog ADC. Hasil pengujian seperti pada gambar 4.2.



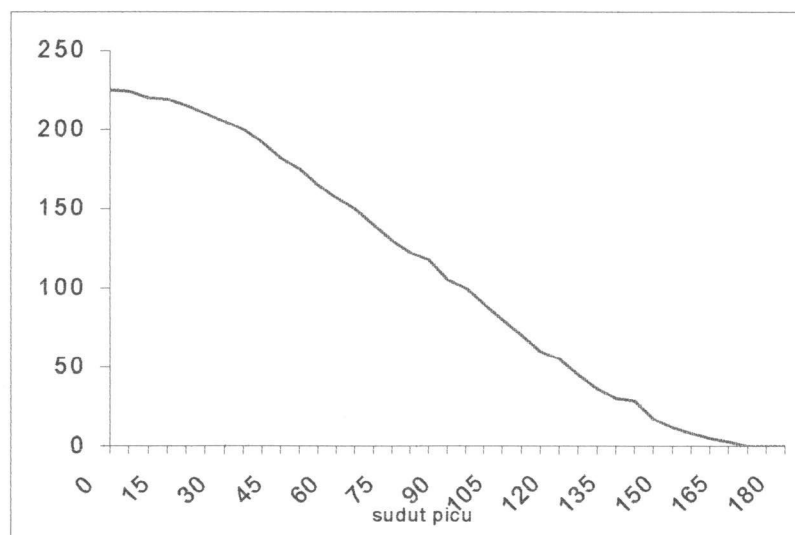
Gambar 4.3 grafik hubungan tegangan analog input terhadap kode output

Grafik pada gambar 4.3 menunjukkan bahwa ADC 0804 mempunyai karakteristik linier antara masukan tegangan terhadap kode data keluaran.

Pada rangkaian sebenarnya ADC yang digunakan mempunyai jangkah dan pengaturan nol yang disesuaikan dengan spesifikasi yang telah ditentukan pada rancangan.

4.3. Pengamatan Watak Proses yang Dikendalikan

Pengamatan sudut picu dilakukan dengan melihat posisi pulsa terhadap titik balik gelombang (titik nol) dengan osiloskop. Pengamatan tegangan dilakukan dengan mengukur tegangan pada kipas menggunakan voltmeter.



Gambar 4.4 Hubungan sudut picu dan tegangan hasil pengamatan

Keterangan:

1. Dari gambar, terlihat bahwa hubungan sudut picu dengan tegangan yang dihasilkan adalah tidak linier.
2. Bentuk matematis dari watak sudut picu dengan tegangan tidak perlu dicari karena logika *fuzzy* tidak memerlukan model matematis sistem.
3. Berdasarkan hasil pengamatan diatas, kita tetapkan fungsi keanggotaan sudut picu, yaitu besar = 0 = 100% tegangan max, sedang = 60 = 70% tegangan max, kecil = 120 = sekitar 25% tegangan max, dan kecil 155 = 3% tegangan max.

4.4. Pengamatan Perubahan Tegangan *Thyristor* Terhadap Suhu Set Point Tertentu

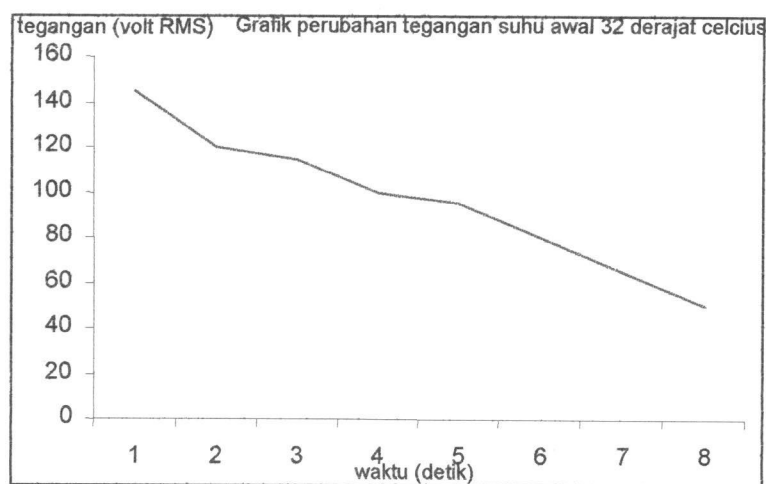
Pengamatan ini dimaksudkan untuk mengetahui kecepatan perubahan tegangan *thyristor* terhadap suhu set point tertentu. Pengamatan dilakukan dengan

melihat perubahan tegangan *thyristor* terhadap waktu dengan menggunakan voltmeter sehingga tegangan yang diamati adalah merupakan tegangan *root mean square* (RMS) dari gelombang pensaklaran *thyristor*.

Alasan digunakannya pengamatan tegangan ini adalah besarnya tegangan RMS dapat teramati perubahan dan tegangan yang teramati merupakan representasi dari tegangan yang digunakan oleh kipas untuk berputar.

Hasil pengamatan akan menjelaskan perubahan putaran kipas dengan mengamati perubahan tegangan melalui volt meter.

Gambar grafik menjelaskan pengamatan perubahan tegangan terhadap waktu dengan suhu awal 32 derajat celsius dan suhu setpoint sebesar 29 derajat celcius.



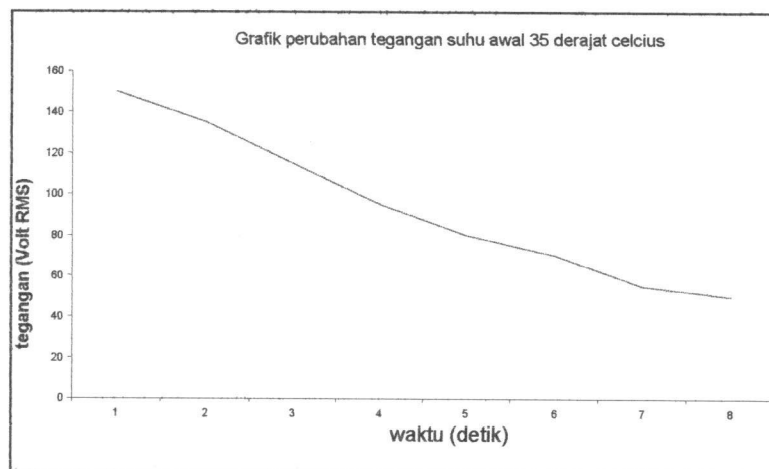
Gambar 4.5 Grafik perubahan suhu awal 32 derajat celcius

Hasil pengamatan menunjukkan bahwa perubahan tegangan untuk laju pendinginan tidak linier karena suhu pendinginan yang dihasilkan kipas tidak

linier. Hasil pengamatan juga menunjukkan bahwa kecepatan pendinginan perubahannya lambat untuk setiap titik pengamatan.

Bila beda suhu antara suhu awal dan suhu yang diinginkan tidak besar maka tegangan awal tidak terlalu besar. Hal ini menunjukkan bahwa putaran kipas tidak dibuat cepat oleh algoritma *fuzzy*.

Aturan kendali *fuzzy* yang diterapkan bila beda suhu yang terjadi kecil adalah memberikan keluran maksimal tetapi hasil dari inferensi tidak dapat menyebabkan tegangan untuk kipas menjadi maksimal. Karena hasil inferensi yang digunakan untuk membaca *look-up table* mengarahkan sudut picu lebih dari 60 derajat terhadap satu siklus (180 derajat maksimal).



Gambar 4.6 Grafik perubahan tegangan suhu awal 35 derajat celcius

Bila perbedaan suhu semakin tinggi maka perubahan tegangan semakin lambat dan kecepatan perubahan tegangan terjadi pada waktu suhu berbeda sebesar 2 derajat celcius dari suhu yang diinginkan. Perubahan semakin cepat karena putaran kipas melambat dan suhu yang diinginkan telah mendekati sehingga tampak bahwa perubahan tegangan semakin cepat yang menunjukkan

bahwa putaran kipas menjadi lambat dan berhenti ketika mencapai beda suhu sebesar 0,5 derajat celcius.

Peranan algoritma *fuzzy* tampak dari hasil yang diperoleh berdasarkan grafik diatas. Beda suhu yang tinggi antara suhu awal dan setpoint (suhu yang diinginkan) menyebabkan tegangan pada *thyristor* sangat besar. Hal ini menandakan bahwa error berada pada fungsi keanggotaan positif dan perubahan error berada pada keanggotaan nol yang menyebabkan keluaran akan berada pada batas maksimal sehingga pembacaan *look-up table* akan berada pada posisi 1 kurang dari 60 derajat untuk sinyal 180 derajat.

Thyristor akan mengalirkan arus penuh pada saat tersebut dan putaran kipas menjadi sangat cepat untuk mendinginkan suhu. Tetapi karena error yang besar maka kecepatan putaran awal kipas akan lama daripada kecepatan putaran kipas berikutnya karena menjaga agar pendinginan cepat terjadi yang dikendalikan oleh algoritma *fuzzy* sesuai dengan aturan yang dibuat dalam perancangan yang dijelaskan pada bab 3.

4.5. Pengamatan Perubahan Suhu Terhadap Waktu Pendinginan

Pengamatan ini dimaksudkan untuk mengetahui kecepatan pendinginan dengan melakukan pengamatan terhadap suhu awal dan suhu akhir dengan waktu yang diperlukan untuk mencapai suhu akhir.

Hasil pengamatan ditunjukkan pada tabel 4.2. Pada tabel 4.2 terdapat data setpoint yang merupakan suhu yang diinginkan sebenarnya, tetapi hasil pengamatan hanya dilakukan ketika suhu mencapai suhu akhir.

Tabel 4.2 Hasil pengamatan pada model ruang

No	Suhu Awal	Set Point	Suhu Akhir	Waktu
1	30	28,5	28,6	120dt
2	31	28,5	28,6	140dt
3	32	28,5	28,6	160dt
4	33	28,5	28,6	140dt
5	34	28,5	28,6	210dt
6	35	28,5	28,6	200dt
7	36	28,5	28,6	180dt
8	37	28,5	28,6	190dt
9	38	28,5	28,6	220dt
10	39	28,5	28,6	250dt

4.6. Kemampuan Pengendalian

Sistem dikatakan dapat dikendalikan adalah apabila dapat menghasilkan keluaran sistem sesuai dengan yang diharapkan. Logika *fuzzy* dengan mikrokontroler dapat mengendalikan keluaran sistem sehingga keluaran sistem sesuai dengan yang diharapkan pada keadaan tunaknya.

Dengan mengacu dari deretan data yang didapatkan, terlihat keluaran sesekali sedikit melebihi ataupun sedikit dari set point yang diharapkan. Namun kesalahan keadaan tunak yang ditimbulkan tidak besar, dengan maksimal 0,5 derajat Celcius. Kesalahan yang terjadi juga terlihat tidak memiliki pola dan cenderung dikategorikan sebagai suatu pola acak.

Kesalahan yang terjadi pada setiap pengendalian yaitu $\pm 0,5$ derajat Celcius dapat dianalisa adalah akibat :

1. Akurasi ADC adalah $0,1$ derajat Celcius / bit. Perancangan dengan akurasi $0,1$ derajat Celcius mengacu pada datasheet LM35 sebagai sensor suhu yang memiliki akurasi tipikal 10 mV/derajat celcius dan hasil yang linier.
2. Perubahan yang dapat dideteksi untuk menghitung kesalahan adalah $0,1$ dajat Celcius.

BAB V

PENUTUP

5.1 Kesimpulan

1. Setpoint temperatur tidak pernah tercapai tapi akan beselisih beberapa derajat celcius terhadap suhu yang diinginkan (setpoint). Hal ini diakibatkan karena tidak adanya pengaturan laju pemanasan dan aturan-aturan logika *fuzzy* yang diterapkan .
2. Model ruangan suhu yang dirancang sangat tergantung suhu sekitarnya, akibatnya hasil pembacaan proses value pada display dipengaruhi oleh temperatur sekitar model ruang.
3. Pengaturan fase untuk pengendalian putaran kipas tidak menghasilkan pengendalian putaran yang halus karena daya yang tersalurkan untuk mengendalikan kipas dengan teknik posisi fase tidak terdapat beda yang signifikan.

5.2 Saran

1. Fungsi keanggotaan hendaknya dapat ditambahkan untuk memperoleh pengendalian sistem temperatur seperti yang diinginkan.
2. Untuk memperoleh hasil yang optimal keluaran pengendali tidak hanya tidak hembusan kipas tetapi juga pengendalian laju pemanasan bola lampu.
3. Sistem pengendali ini dapat dikembangkan dengan menghubungkan mikrokontroler dan komputer. Dimana komputer digunakan untuk

pengolahan dan pengaturan logika *fuzzy* serta untuk mengolah hasil pengukuran.

4. Pengolah dapat menggunakan mikrokontroler dengan lebar BUS yang besar (16) dan sensor suhu yang memiliki sensitivitas tinggi serta ADC yang mempunyai resolusi yang tinggi sehingga pengendalian sistem dapat diperoleh dengan presisi yang tinggi.

DAFTAR PUSTAKA

1. Budi Susanto, 2002, Power Kontrol.
2. Ir.Hj. Budi Astuti, 1999, Teknik Tenaga Listrik, Universitas Islam Indonesia.
3. Malvino Albert Paul, Ph, D, *Prinsip-Prinsip Elektronika*, Erlangga, 1992.
4. *National Semiconductor Data sheet*, 1995.
5. Putra Agfianto Eko, 2002, *Belajar Mikrokontroler AT89C51/53/53 Teori dan Aplikasi*, Gava Media, Yogyakarta.
6. Sri Kusumadewi (Edisi 2) 2001 *Analisis dan desain sistem fuzzy*.
7. Sri Kusumadewi, 2002, *Analisi dan Desain Sistem Fuzzy Menggunakan Tool BOX matlab*, Graha Ilmu.
8. Wasito, S, 1991, *Data Sheet Book 1*, Gramedia, Jakarta.
9. Wasito, S, 1985, *Data Sheet Book 1, Data IC Linier, TTL, dan CMOS*, PT Elex Media Komputindo, Kelompok Gramedia, Jakarta.

LAMPIRAN

```

rogram lengkap fuzzy
efinisi dan lokasi alamat Port PPI 8255
rtA      equ      2000H
rtB      equ      2001H
rtC      equ      2002H
lwr      equ      2003H
luaran   equ      5000H

ariabels
ag       equ      20h
luhan    equ      22h
tuan     equ      23h
cahan    equ      24h
g0       equ      25h          ;pecahan
g1       equ      26h          ;satuan
g2       equ      27h          ;puluhan
x        equ      28h
         equ      29h
d1       equ      2ah          ;pecahan
d2       equ      2bh          ;satuan
d3       equ      2ch          ;puluhan
ta_kpd   equ      2dh
ya       equ      2eh

ariabel fuzifikasi
         equ      2fh          ;data suhu dari adc
tpoint   equ      30h          ;data suhu setelan
ror      equ      31h
rbef     equ      32h
err      equ      33h
r_pos    equ      34h
r_nol    equ      35h
r_neg    equ      36h
errpos   equ      37h
errneg   equ      38h
errnol   equ      39h
tput     equ      3ah
tnol     equ      3bh
tpos     equ      3ch
tneg     equ      3dh

ariabel untuk defuzifikasi
li1      equ      3eh
li2      equ      3fh
li3      equ      40h
li4      equ      41h
ks       equ      42h
n        equ      43h
n1       equ      44h
n2       equ      45h
n3       equ      46h
outneg   equ      47h
outpos   equ      48h
outnol   equ      49h

ariabel untuk bagi 16 bit
vidend   equ      4ah
videndl  equ      4bh
visor    equ      4ch
asil     equ      4dh
g1       equ      4eh
g2       equ      4fh
g3       equ      50h

Flags control
OC       bit      P1.0          ;tanda konversi adc selesai
;        bit      P1.1          ;chip select adc
RT       bit      P1.2          ;write atau not read adc
) suhu   bit      P1.3          ;led data suhu
) point  bit      P1.4          ;led setpoint

```

```

Y          bit          P1.5          ;keypad diambil datanya
IAC        bit          P1.7          ;pengendali triac
cimal      bit          Flag.0        ;tanda tombol desimal ditekan
ntang      bit          Flag.1        ;tanda tombol * ditekan
gar        bit          Flag.2        ;tanda tombol # ditekan
tik        bit          Flag.3        ;tanda telah 1 detik
me_sampling bit          flag.4        ;tanda time sampling
lesai      bit          flag.5
eri        bit          flag.6

```

```

ORG        0000h
i:         ;Ljmp        Rst
ORG        0003h
;Ljmp        Itsra
ORG        0013h
;Ljmp        Itsrb
org        4000h          ;Program dimulai disini
st:        ljmp        mulai
org        4003h          ;Program keypad
sra:       lcall       itsr0
ret
org        400bh          ;Program sulut triac
Lcall      penyulutan
ret
org        4013h          ;Program zero crossing
srb:       lcall       TitikNol
ret
org        4033h          ;Awal penulisan Program

```

```

*****
inisialisasi
*****

```

inisialisasi:

```

mov        dptr,#ctlwrd
mov        a,#99h
movx       @dptr,a
mov        seg0,#11100000b      ;seg kanan
mov        seg1,#11010000b      ;seg tengah
mov        seg2,#10110000b      ;seg kiri
mov        pad1,#00
mov        pad2,#00
mov        pad3,#00
mov        tix,#100
mov        ts,#200
mov        flag,#00

mov        pv,#00
mov        setpoint,#00h
mov        error,#00h
mov        c_err,#00h
mov        errbef,#00h

mov        c_errneg,#00h
mov        c_errnol,#00h
mov        c_errpos,#00h

mov        err_neg,#00h
mov        err_nol,#00h
mov        err_pos,#00h

mov        mfoutneg,#00h
mov        mfoutnol,#00h
mov        mfoutpos,#00h

mov        maks,#00h
mov        min,#00h
mov        min1,#00h
mov        min2,#00h

```

```

mov     min3,#00h
mov     outneg,#00h
mov     outnol,#80
mov     outpos,#100
mov     output,#10h

mov     kali1,#00h
mov     kali2,#00h
mov     kali3,#00h
mov     kali4,#00h
mov     dividend,#00h
mov     dividend1,#00h
mov     divisor,#00h
mov     hasil,#00h

setb    ex0
setb    it0
setb    ea
ret

```

program intrupsi keypad

```

:sr0:   clr     ie.0
        push   dph
        push   dpl
        push   acc
        mov    dptr,#porta
        clr    KEY           ;aktifkan port ic keypad
        movx   a,@dptr
        setb   KEY           ;non aktifkan port ic keypad
        anl    a,#00001111b
        mov    data_kpd,a

        cjne   a,#0bh,desimal
        setb   bintang
        sjmp   desimal3

:esimal: cjne   a,#0ah,desimal2
        setb   pagar
        sjmp   desimal3

:esimal2: setb   Decimal

:esimal3: pop    acc
        pop    dpl
        pop    dph
        setb   ie.0
        ret

*****
:delay: mov    r7,#0ffh
        mov    r6,#0ffh
0:      djnz   r6,l1
1:      djnz   r7,l0
        mov    r7,#0ffh
        mov    r6,#0ffh
2:      djnz   r6,l3
3:      djnz   r7,l2
        mov    r7,#0ffh
        mov    r6,#0ffh
4:      djnz   r6,l5
5:      djnz   r7,l4
        ret

itung_error:
        mov    a,pv
        clr    c

```



```

        subb    a, setpoint
        jc     pv_besar
        add    a, #127
        jc     err_ovp
        mov    error, a
        ret

err_ovp:
        mov    a, #0ffh
        mov    error, a
        ret

pv_besar:
        mov    a, setpoint
        clr    c
        subb  a, pv
        mov    r7, a
        mov    a, #127
        subb  a, r7
        jc     err_ovn
        mov    error, a
        ret

err_ovn:
        mov    a, #00
        mov    error, a
        ret

itung_c_error:
        clr    c
        mov    a, error
        subb  a, errbef
        jc     errbef_besar
        add    a, #15
        jc     nt1
        clr    c
        cjne  a, #30, nt
t:      jc     c_errovp
t1:     mov    c_err, #30
        ret

_errovp:
        mov    c_err, a
        ret

rrbef_besar:
        clr    c
        mov    a, errbef
        subb  a, error
        mov    r7, a
        mov    a, #15
        clr    c
        subb  a, r7
        jc     c_errovn
        mov    c_err, A
        ret

_errovn:
        mov    c_err, #00
        ret

abel:
        push  dph
        push  dpl
        mov  a, error
        mov  dptr, #mfen

```

```

movc    a,@a+dptr
mov     err_neg,a

mov     a,error
mov     dptr,#mfez
movc    a,@a+dptr
mov     err_nol,a

mov     a,error
mov     dptr,#mfep
movc    a,@a+dptr
mov     err_pos,a

mov     a,c_err
mov     dptr,#mfcen
movc    a,@a+dptr
mov     c_errneg,a

mov     a,c_err
mov     dptr,#mfcez
movc    a,@a+dptr
mov     c_errnol,a

mov     a,c_err
mov     dptr,#mfcep
movc    a,@a+dptr
mov     c_errpos,a
pop     dpl
pop     dph
ret

```

ifikasi:

```

acall   hitung_error
acall   hitung_c_error
acall   tabel
ret

```

erensi:

```

acall   hit_mfoutneg
acall   hit_mfoutnol
acall   hit_mfoutpos
ret

```

_mfoutneg:

```

mov     r7,err_neg
mov     r6,c_errneg
acall   minimum
mov     a,min
mov     min1,a
mov     r7,err_neg
mov     r6,c_errnol
acall   minimum
mov     a,min
mov     min2,a
mov     r7,err_nol
mov     r6,c_errneg
acall   minimum
mov     a,min
mov     min3,a
acall   maksimum
mov     a,maks
mov     b,#2
div     ab
mov     mfoutneg,a
ret

```

```

t_mfoutpos:
    mov     r7,err_nol
    mov     r6,c_errpos
    acall  minimum
    mov     a,min
    mov     min1,a
    mov     r7,err_pos
    mov     r6,c_errnol
    acall  minimum
    mov     a,min
    mov     min2,a
    mov     r7,err_pos
    mov     r6,c_errpos
    acall  minimum
    mov     a,min
    mov     min3,a
    acall  maksimum
    mov     a,maks
    mov     b,#2
    div    ab
    mov     mfoutpos,a
    ret

```

```

it_mfoutnol:
    mov     r7,err_neg
    mov     r6,c_errpos
    acall  minimum
    mov     a,min
    mov     min1,a
    mov     r7,err_nol
    mov     r6,c_errnol
    acall  minimum
    mov     a,min
    mov     min2,a
    mov     r7,err_pos
    mov     r6,c_errneg
    acall  minimum
    mov     a,min
    mov     min3,a
    acall  maksimum
    mov     a,maks
    mov     b,#2
    div    ab
    mov     mfoutnol,a
    ret

```

subrutin mencari nilai minimum
inimum:

```

    clr     c
    mov     a,r6
    subb   a,r7
    jc     banding
    mov     a,r7
    mov     min,a
    ret

```

anding:

```

    mov     a,r6
    mov     min,a
    ret

```

subrutin mencari nilai maksimum
aksimum:

```

    clr     c
    mov     a,min1
    subb   a,min2
    jc     besar_min2

```

```

        mov     a,min1
        subb   a,min3
        jc     besar_min3
        mov     a,min1
        mov     maks,a
        ret

besar_min2:
        clr     c
        mov     a,min2
        subb   a,min3
        jc     besar_min3
        mov     a,min2
        mov     maks,a
        ret

besar_min3:
        mov     a,min3
        mov     maks,a
        ret

efuzifikasi:
        mov     a,mfoutneg
        mov     b,outneg
        mul    ab
        mov     kali1,b
        mov     kali2,a
        mov     a,mfoutnol
        mov     b,outnol
        mul    ab
        mov     kali3,b
        mov     kali4,a
        mov     a,mfoutpos
        mov     b,outpos
        mul    ab
        clr     c
        add    a,kali2
        add    a,kali4
        mov     dividend1,a
        clr     c
        mov     a,b
        add    a,kali1
        add    a,kali3
        mov     dividend,a
        mov     a,mfoutneg
        clr     c
        add    a,mfoutnol
        add    a,mfoutpos
        jc     jumlah_ov
        mov     divisor,a
        ljmp   bagi

umlah_ov:
        mov     divisor,#0ffh

agi:
        lcall  bagil6ke8
        clr     c
        mov     a,hasil
        subb   a,outnol
        jc     out_neg
        add    a,output
        jc     out_ovp
        mov     output,a
        ret

out_ovp:

```

```

        mov     output,#0ffh
        ret

ut_neg:
        clr     c
        mov     a,outnol
        subb   a,hasil
        mov     r7,a
        mov     a,output
        clr     c
        subb   a,r7
        jc     out_ovn
        mov     output,a
        ret

ut_ovn:
        mov     output,#00h
        ret

*****
program pembagian 16bit dengan 8bit
*****
agil6ke8:
        clr     a
        cjne   a,divisor,ovku
embagian_oleh_nol:
        mov     hasil,#0h
        ret

vku:
        mov     hasil,a
        mov     r4,#8
        mov     r5,dividend1
        mov     r6,dividend
        mov     r7,a
        mov     a,r6
        mov     b,divisor
        div    ab
        mov     r6,b

imes_two:
        mov     a,r5
        rlc    a
        mov     r5,a
        mov     a,r6
        rlc    a
        mov     r6,a
        mov     a,r7
        rlc    a
        mov     r7,a

:ompare:
        cjne   a,#0,done
        mov     a,r6
        cjne   a,divisor,done
        cjne   r5,#0,done

done:
        cpl    c

uild_quotient:
        mov     a,hasil
        rlc    a
        mov     hasil,a
        jnb   acc.0,loop

ubstract:
        mov     a,r6
        subb   a,divisor
        mov     r6,a

```

```

        mov     a,r7
        subb   a,#0
        mov     r7,a

loop:   djnz    r4,times_two
        clr    ov
        ret

*****
main:   lcall   delay
        lcall   inisialisasi

menu:   mov     r0,#seg2
        mov     r1,#pad3

menu1:  jnb     Decimal,menu2           ;ada tombol desimal ditekan
        clr    Decimal
        sjmp   menu4

menu2:  jnb     bintang,menu3           ;tombol * ditekan (setpoint)
        clr    bintang
        clr    LDsuhu
        setb   LDpoint                 ;data setpoint
        lcall  setvalue2               ;pogram nulis setpoint ke
display
        sjmp   menu

menu3:  jnb     pagar,menu1 ;tombol # ditekan (data suhu)
        clr    pagar
        setb   LDsuhu                 ;data suhu
        clr    LDpoint
        lcall  setvalue               ;pogram nulis setpoint
desimal ke heksa
        ljmp   kendali

menu4:  mov     a,data_kpd
        mov     @r1,a
        mov     dptr,#portb
        add    a,@r0
        movx   @dptr,a
        anl    a,#00001111b
        add    a,#0f0h
        movx   @dptr,a
        dec    r1
        dec    r0
        cjne   r0,#24h,menu1
        sjmp   menu

kendali: lcall   delay
        clr    ea
        mov    TMOD,#1                ;Mode Kerja Timer0
        setb   IT1
        setb   EX1
        setb   EA
        ;MOV   daya,#255 ;p/pmax = 0,5
        mov    dptr,#keluaran

oops:   clr    Decimal
        clr    pagar
        jnb   bintang,menu2
        lcall  ubah                    ;keluaran di acc
        lcall  ubahformat ;masukan di acc
        jnb   detik,loops2
        clr    detik

```

```

ops2:      Lcall      tampil
           ;jb       selesai,loops
           jnb      time_sampling,loops
           clr      time_sampling
           Lcall    fuzifikasi
           Lcall    inferensi
           Lcall    defuzifikasi
           mov      errbef,error
           mov      daya,output
           ;mov     pv,output
           mov      a,pv
           movx    @dptr,a
           ;inc    dptr
           mov      a,dph
           cjne    a,#05fh,loops
           mov      a,dpl
           cjne    a,#0ffh,loops
           setb    selesai
           setb    LDpoint
           sjmp    loops

```

ubah biner/hex ke desimal 7 segmen, masukan di acc

bahformat:

```

           mov      puluhan,#00h
           mov      satuan,#00h
           mov      pecahan,#00h
           add      a,#250d
           mov      ker1,c
           clr      c
           mov      b,a

```

```

lh:        jb       ker1,plh1
           subb    a,#64h
           jc      ubh_stn

```

```

lh1:       mov      a,b
           clr      c
           subb    a,#64h
           mov      b,a
           inc     puluhan
           jnc     plh
           clr     ker1
           sjmp    plh

```

```

ubh_stn:   mov      a,b
ulh:       mov      b,a
           clr      c
           subb    a,#0ah
           jc      ubh_pch
           inc     satuan
           sjmp    pulh

```

```

ubh_pch:   mov      pecahan,b
           ret

```

:subrutin tampilan data suhu ke 7 segmen

```

tampil:    push     dph
           push     dpl
           mov      a,#0f0h
           clr      acc.4
           add     a,pecahan
           mov      dptr,#portB
           movx    @dptr,a

```



```

setb      acc.4
movx      @dptr,a
;
mov       a,#0f0h
clr       acc.5
add       a,satuan
mov       dptr,#portB
movx      @dptr,a
setb      acc.5
movx      @dptr,a
;
mov       a,#0f0h
clr       acc.6
add       a,puluhan
mov       dptr,#portB
movx      @dptr,a
setb      acc.6
movx      @dptr,a
pop       dpl
pop       dph
ret

```

```

*****
Perintah konversi adc,hasil di acc
*****

```

```

ah:      push      dph
         push      dpl
         clr       CS           ;enable CS (1 uS)
         clr       WRT        ;enable WR (1 uS)
         setb      WRT        ;disable WR
         setb      CS         ;disable CS
checkadc: jb      EOC,checkadc ;selesai?
         mov       dptr,#portC
         clr       CS         ;enable CS
         setb      WRT        ;enable RD
         movx      a,@dptr    ;load data
         mov       pv,a
         setb      CS         ;disable CS
         pop       dpl
         pop       dph
         ret

```

```

*****
rutin interupsi titik nol
*****

```

```

.tikNol: push      acc
         push      dph
         push      dpl
         clr       TRIAC      ;matikan LED MOC3021
         mov       DPTR,#Isi_TH0 ;byte pertama
         mov       A,daya      ;nilaip/pmax
         movc      a,@A+DPTR   ;ambil nilai tunda
         mov       TH0,A       ;simpan ke timer0
         mov       DPTR,#Isi_TL0 ;byte ke 2
         mov       A,daya      ;nilai p/pmax
         movc      A,@A+DPTR   ;ambil nilai tunda
         mov       TLO,A       ;simpan ke Timer0
         setb      ET0         ;aktifkan intrupsi Timer0
         setb      TR0         ;hidupkan timer0
         djnz      tix,exit    ;decrement tix, jika tidak segera keluar
         mov       tix,#100    ;reset variabel ticks
         setb      detik      ;tanda telah satu detik
tit:     djnz      ts,exit2
         mov       ts,#200
         setb      time_sampling
tit2:    pop       dpl
         pop       dph

```



```

        pop          acc
        ret
*****
Rutin delay timer 0
*****
enyalutan:
        clr          TR0          ;hentikan timer0
        clr          ETO          ;tanpa interupsi timer0
        setb         TRIAC        ;hidupkan LED MOC3021
        nop
        nop
        ;clr         TRIAC
        ret
*****
subrutin mengubah masukan dari 7 segmen ke dalam bentuk Heksadesimal
*****
etvalue:
        mov          r0,#pad3          ;r0 untuk register suhu (BCD)
        mov          r2,#0            ;baca tabel B to H brapa
ali?
        mov          r1,#pag1         ;r1 untuk register heksa
        mov          pag1,#0
        mov          pag2,#0
        mov          pag3,#0
*****
subrutin untuk mengubah BCD ke Heksadesimal
*****
_TO_H:  mov          b,@r0
        mov          a,r2
        mov          dptr,#BtoH
        movc         a,@a+dptr
        mul          ab
        inc          r1
        add          a,@r1
        mov          @r1,a
        dec          r1
        mov          a,b
        add          a,@r1
        mov          @r1,a
        dec          r0
        inc          r2
        mov          a,r2
        cjne         a,#3,B_TO_H
        clr          c
        mov          a,pag2
        subb         a,#250d
        ;jnc         lho
        ;mov         setpoint,#0
        ;ret
ho:     mov          setpoint,a
        ret
*****
subrutin tampilan setpoin ke 7 segmen
*****
etvalue2:
        mov          a,#0f0h
        clr          acc.4
        add          a,pad1          ;pecahan
        mov          dptr,#portB
        movx         @dptr,a
        setb         acc.4
        movx         @dptr,a
        ;
        mov          a,#0f0h
        clr          acc.5
        add          a,pad2          ;satuan

```


db	255	
db	255	
db	255	;50
db	255	
db	255	
db	255	
db	255	
db	255	
db	255	
db	255	
db	255	
db	255	;60
db	255	
db	255	
db	255	
db	255	
db	255	
db	255	
db	255	
db	255	;70
db	255	
db	255	
db	255	
db	255	
db	255	
db	255	
db	255	
db	255	
db	255	;80
db	255	
db	255	
db	255	
db	255	
db	255	
db	255	
db	255	
db	249	
db	242	
db	236	;90
db	230	
db	223	
db	217	
db	210	
db	204	
db	198	
db	191	
db	185	
db	179	
db	172	;100
db	166	
db	159	
db	153	
db	147	
db	140	
db	134	
db	128	
db	121	
db	115	
db	108	;110
db	102	
db	96	
db	89	

db	0
db	0
db	0
db	0
db	0
db	0
db	0
db	0
db	0
db	0
db	0
db	0
db	0
db	0
db	0
db	0
db	0
db	0
db	0
db	0
db	0
db	0
db	0
db	0
db	0
db	0
db	0
db	0
db	0
db	0
db	0
db	0
db	0
db	0
db	0
db	0
db	0
db	6
db	13
db	19
db	26
db	32
db	38
db	45
db	51
db	57
db	64
db	70
db	77
db	83
db	89
db	96
db	102
db	108
db	115
db	121
db	128
db	134
db	140
db	147
db	153
db	159
db	166
db	172
db	179
db	185
db	191

db	198
db	204
db	210
db	217
db	223
db	230
db	236
db	242
db	249
db	255
db	249
db	242
db	236
db	230
db	223
db	217
db	210
db	204
db	198
db	191
db	185
db	179
db	172
db	166
db	159
db	153
db	147
db	140
db	134
db	128
db	121
db	115
db	108
db	102
db	96
db	89
db	83
db	77
db	70
db	64
db	57
db	51
db	45
db	38
db	32
db	26
db	19
db	13
db	6
db	0
db	0
db	0
db	0
db	0
db	0
db	0
db	0
db	0
db	0
db	0
db	0
db	0
db	0
db	0
db	0
db	0
db	0
db	0

db	0
db	0
db	0
db	0
db	0
db	6
db	13
db	19
db	26
db	32
db	38
db	45
db	51
db	57
db	64
db	70
db	77
db	83
db	89
db	96
db	102
db	108
db	115
db	121
db	128
db	134
db	140
db	147
db	153
db	159
db	166
db	172
db	179
db	185
db	191
db	198
db	204
db	210
db	217
db	223
db	230
db	236
db	242
db	249
db	255
db	255
db	255
db	255
db	255
db	255
db	255
db	255
db	255
db	255
db	255
db	255
db	255
db	255
db	255
db	255
db	255
db	255
db	255

db 255

mencari fungsi keanggotaan error negatif

icen: db 255
db 255
db 255
db 255
db 255
db 255
db 255
db 255
db 219
db 182
db 146
db 109
db 73
db 36
db 0
db 0
db 0
db 0
db 0
db 0
db 0
db 0
db 0
db 0
db 0
db 0
db 0
db 0
db 0
db 0

mencari fungsi kanggotaan prubahan error nol

fcez: db 0
db 0
db 0
db 0
db 0
db 0
db 0
db 0
db 36
db 73
db 109
db 146
db 182
db 219
db 255
db 219
db 182
db 146
db 109
db 73
db 36
db 0
db 0
db 0
db 0
db 0
db 0

```
db      0
db      0
db      0
```

mencari fungsi kanggotaan error positif
fcep:

```
db      0
db      0
db      0
db      0
db      0
db      0
db      0
db      0
db      0
db      0
db      0
db      0
db      0
db      0
db      0
db      36
db      73
db      109
db      146
db      182
db      219
db      255
db      255
db      255
db      255
db      255
db      255
db      255
db      255
db      255
db      255
```

```
*****
tabel bcd to hex
*****
```

```
toH:    db      64h
        db      0ah
        db      01h
```

*** Tabel waktu tunda

```
[si_TH0:
db      0E5h          ;1
db      0E6h          ;5h ;2
db      0E6h
db      0E6h
db      0E6h
db      0E6h
db      0E6h
db      0E6h
db      0E6h
db      0E6h
db      0E6h
db      0E6h
db      0E6h
db      0E6h
db      0E6h
db      0E6h
db      0E7h
db      0E7h
db      0E7h
```


0EFh
0F0h
0F0h
0F0h
0F0h
0F0h
0F0h
0F0h
0F0h
0F0h
0F0h
0F0h
0F0h
0F0h
0F0h
0F0h
0F1h
0F1h
0F1h
0F1h
0F1h
0F1h
0F1h
0F1h
0F1h
0F1h
0F1h
0F1h
0F1h
0F1h
0F1h
0F1h
0F1h
0F2h
0F2h
0F2h
0F2h
0F2h
0F2h
0F2h
0F2h
0F2h
0F2h
0F2h
0F2h
0F2h
0F2h
0F2h
0F2h
0F2h
0F3h
0F3h
0F3h
0F3h
0F3h
0F3h
0F3h
0F3h
0F3h
0F3h
0F3h
0F3h
0F4h
0F4h
0F4h
0F4h
0F4h

OF4h
OF4h
OF4h
OF4h
OF4h
OF4h
OF4h
OF4h
OF4h
OF4h
OF5h
OF5h
OF5h
OF5h
OF5h
OF5h
OF5h
OF5h
OF5h
OF5h
OF5h
OF5h
OF5h
OF5h
OF5h
OF6h
OF6h
OF6h
OF6h
Of6h
Of6h
Of6h
Of6h
Of6h
Of6h
Of6h
Of6h
Of6h
Of6h
Of6h
Of6h
Of6h
Of6h

i_TLO:

) 048h ;0
) 014h ;59h,6Ah,7Bh,8Ch,9Dh,AEh,BFh,D0h,E1h,F2h,03h;1
) 025h ;12
) 036h
) 047h
) 058h
) 069h
) 07Ah
) 08Bh
) 09Ch
) 0ADh
) 0BEh
) 0CFh
) 0E0h
) 0F2h
) 003h
) 014h
) 025h
) 036h
) 047h
) 058h
) 069h
) 07Ah
) 08Bh

) 09Ch
) 0ADh
) 0BEh
) 0CFh
) 0E0h
) 0F1h
) 002h
) 013h
) 024h
) 035h
) 046h
) 057h
) 068h
) 079h
) 08Ah
) 09Bh
) 0ACh
) 0BDh
) 0CEh
) 0DFh
) 0F0h
) 001h
) 012h
) 023h
) 034h
) 046h
) 057h
) 068h
) 079h
) 08Ah
) 09Bh
) 0ACh
) 0BDh
) 0CEh
) 0DFh
) 0F0h
) 001h
) 012h
) 023h
) 034h
) 045h
) 056h
) 067h
) 078h
) 089h
) 09Ah
) 0ABh
) 0BCh
) 0CDh
) 0DEh
) 0EFh
) 000h
) 011h
) 022h
) 033h
) 044h
) 055h
) 066h
) 077h
) 088h
) 099h
) 0ABh
) 0BCh
) 0CDh
) 0DEh
) 0EFh

b 000h
b 011h
b 022h
b 033h
b 044h
b 055h
b 066h
b 077h
b 088h
b 099h
b 0AAh
b 0BBh
b 0CCh
b 0DDh
b 0EEh
b 0FFh
b 010h
b 021h
b 032h
b 043h
b 054h
b 065h
b 076h
b 087h
b 098h
b 0A9h
b 0BAh
b 0CBh
b 0DCh
b 0EDh
b 0FEh
b 010h
b 021h
b 032h
b 043h
b 054h
b 065h
b 076h
b 087h
b 098h
b 0A9h
b 0BAh
b 0CBh
b 0DCh
b 0EDh
b 0FEh
b 00Fh
b 020h
b 031h
b 042h
b 053h
b 064h
b 075h
b 086h
b 097h
b 0A8h
b 0B9h
b 0CAh
b 0DBh
b 0ECh
b 0FDh
b 00Eh
b 01Fh
b 030h
b 041h
b 05h

)
) 063h
) 075h
) 086h
) 097h
) 0A8h
) 0B9h
) 0CAh
) 0DBh
) 0ECh
) 0FDh
) 00Eh
) 01Fh
) 030h
) 041h
) 052h
) 063h
) 074h
) 085h
) 096h
) 0A7h
) 0B8h
) 0C9h
) 0DAh
) 0EBh
) 0FCh
) 00Dh
) 01Eh
) 02Fh
) 040h
) 051h
) 062h
) 073h
) 084h
) 095h
) 0A6h
) 0B7h
) 0C9h
) 0DAh
) 0EBh
) 0FCh
) 00Dh
) 01Eh
) 02Fh
) 040h
) 051h
) 062h
) 073h
) 084h
) 095h
) 0A6h
) 0B7h
) 0C8h
) 0D9h
) 0EAh
) 0FBh
) 00Ch
) 01Dh
) 02Eh
) 03Fh
) 050h
) 061h
) 072h
) 083h
) 094h
) 05h
) 05h